

Darstellungen

- Def. U ist eine Darstellung von $SO(B)$ auf dem Vektorraum \mathcal{H} , falls

$$U: SO(B) \rightarrow \mathcal{L}(\mathcal{H}) = \{ \text{lin. Abb. } \mathcal{H} \rightarrow \mathcal{H} \}$$
$$R \mapsto U(R)$$

ein Homomorphismus ist

$$U(R_1) U(R_2) = U(R_1 R_2) \quad , \quad U(1) = 1.$$

Ist \mathcal{H} ein Hilbertraum und $U(R)^{-1} = U(R)^*$,
so heisst U unitär.

- jede Darstellung von $SO(B)$ induziert eine von $so(B)$ durch

$$U(R) = \left. \frac{d}{dt} U(R(t)) \right|_{t=0} \quad (R, R(t) \text{ wie vorher})$$

$$\rightarrow U([R_1, R_2]) = [U(R_1), U(R_2)]$$

Dabei ist $U(R)$ durch $U(R)$ bestimmt: <*

$$U(e^{Rt}) = e^{U(R)t}$$

(Nicht jede Darstellung von $so(B)$ muss aus einer von $SO(B)$ stammen!)

* Falls U unitär, so $U(R)^* = -U(R)$

- $U(\mathbb{R})$ unitär $\rightarrow U(\mathbb{R})^* = -U(\mathbb{R})$

Selbstadjungiert sind

$$M(\vec{\omega}) := iU(\mathbb{R}(\vec{\omega})) , \text{ insb. für } \vec{\omega} = \vec{e}_i :$$

$$M_i = iU(\mathbb{R}_i)$$

$$\rightarrow [M_1, M_2] = iM_3 \quad \& \text{ zykl.}$$

- Eine Darstellung heißt irreduzibel falls $\{0\}$, \mathcal{H} die einzigen invarianten Teilräume sind.
 - Jede (endlich dim.) Darstellung zerfällt in eine direkte Summe irreduzibler.
 - Heute: Klassifiziere alle iDs der $so(3)$
(damit sind auch die der $SO(3)$ erfasst).
-

$SO(3)$ und $so(3)$

- $so(3)$ besteht aus "infinitesimalen Drehungen"

$$\Omega = \left. \frac{d}{dt} R(t) \right|_{t=0}$$

wobei $R(t) \in SO(3)$ dif. bar mit $R(0) = I$

Bsp: $R(t)$ 1-param. Gruppe. Dann $R(t) = e^{t\Omega}$.

- $so(3)$ ist (reelle) Lie-Algebra: reeller Vektorraum mit dem antisymm. Produkt

$$[\Omega_1, \Omega_2] = \Omega_1 \Omega_2 - \Omega_2 \Omega_1, ;$$

zudem

$$R \Omega R^{-1} \in so(3) \quad (\Omega \in so(3), R \in SO(3))$$

- $\Omega \in so(3)$ ist von der Form $\Omega = \Omega(\vec{\omega})$:

$$\Omega(\vec{\omega}) \vec{x} = \vec{\omega} \wedge \vec{x} \quad \text{für ein } \vec{\omega} \in \mathbb{R}^3$$

$$\rightarrow [\Omega(\vec{\omega}_1), \Omega(\vec{\omega}_2)] = \Omega(\vec{\omega}_1 \wedge \vec{\omega}_2)$$

bzw. mit $\Omega_i := \Omega(\vec{e}_i)$

$$[\Omega_1, \Omega_2] = \Omega_3 \quad \& \quad \text{zykl.}$$

Drehung $R \in SO(3)$, $\vec{x} \mapsto R\vec{x}$ ($\vec{x} \in \mathbb{R}^3$)

Zustand $\psi \in \mathcal{H}$ eines q.m. Systems transformiert dabei gemäß

$$\psi \mapsto U(R)\psi,$$

wobei $U(R)$ eine Darstellung von $SO(3)$ ist:

$$U: SO(3) \rightarrow \{\text{lin. Abb. } \mathcal{H} \rightarrow \mathcal{H}\}$$

$$R \mapsto U(R)$$

$$U(R_1)U(R_2) = U(R_1 R_2), \quad U(\mathbb{1}) = \mathbb{1},$$

die unitär ist: $U(R)^{-1} = U(R)^*$.

Bemerkung: Zustand in der QM ist eine Äquivalenz-
Klasse von Vektoren

$$[\psi] = \{ e^{i\alpha} \psi \mid \psi \in \mathcal{H}, \|\psi\|=1, \alpha \in \mathbb{R} \}$$

→ Darstellung der $SO(3)$ auf \mathcal{H} muss bloss eine
projektive sein : $U(\mathbb{R})$ nur bis auf Phase
definiert.

Def. Eine (unitäre) Darstellung U der Lie-Algebra $so(3)$ in \mathcal{B} ist eine Abbildung

$$U: so(3) \rightarrow \mathcal{L}(\mathcal{B}) = \{ \text{lin. Abb. } \mathcal{B} \rightarrow \mathcal{B} \}$$
$$R \mapsto U(R)$$

mit

$$U(\alpha_1 R_1 + \alpha_2 R_2) = \alpha_1 U(R_1) + \alpha_2 U(R_2)$$

$(\alpha_1, \alpha_2 \in \mathbb{R})$

$$U([R_1, R_2]) = [U(R_1), U(R_2)]$$

$$U(R)^* = -U(R).$$

Beachte: Def. setzt nicht voraus, dass U durch eine Darstellung der $SO(3)$ induziert wird,

$$U(R) = \left. \frac{d}{dt} U(R(t)) \right|_{t=0}$$

für $R = dR(t)/dt|_{t=0}$, $R(0) = \mathbb{1}$.

Jede Darstellung der $SO(3)$ induziert
eine der $so(3)$ mittels

$$U(R) = \frac{d}{dt} U(R(t)) \Big|_{t=0}$$

Falls $R = \frac{dR(t)}{dt} \Big|_{t=0}$, $(R(0) = 1)$. Dabei
ist $U(R)$ durch $U(R)$ bestimmt:

$$U(e^{Rt}) = e^{U(R)t}$$

Aber: Nicht jede Darstellung der $so(3)$
wird so induziert. Unter den

Irreduziblen

$$D_j, \quad (j = 0, \frac{1}{2}, 1, \frac{3}{2}, \dots)$$

nur jene mit j ganzzahlig.

SU(2) und su(2)

- $SU(2) = \{ V \text{ kompl. } 2 \times 2 \text{ Matrix} \mid V^* V = 1, \det V = 1 \}$
mit Lie-Algebra (infinitesimale Elemente)

$$su(2) = \{ A \text{ kompl. } 2 \times 2 \text{ Matrix} \mid A^* + A = 0, \operatorname{sp} A = 0 \}$$

$$[A_1, A_2] = A_1 A_2 - A_2 A_1,$$

Zudem

$$V A V^* \in su(2), \quad (A \in su(2), V \in SU(2))$$

- $A \in su(2)$ ist von der Form $A = A(\vec{a})$

$$A(\vec{a}) = \frac{-i}{2} \begin{pmatrix} a_3 & a_1 - i a_2 \\ a_1 + i a_2 & -a_3 \end{pmatrix} = \frac{-i}{2} \vec{\sigma} \cdot \vec{a}$$

mit $\vec{a} = (a_1, a_2, a_3) \in \mathbb{R}^3$.

$$\rightarrow [A(\vec{a}), A(\vec{b})] = A(\vec{a} \wedge \vec{b})$$

bzw. mit $A_i = A(\vec{e}_i)$

$$[A_1, A_2] = A_3 \quad \& \quad \text{zykl.}$$

$\rightarrow su(2)$ und $so(3)$ sind isomorph über

$$su(2) \rightarrow so(3), \quad A(\vec{\omega}) \mapsto \Omega(\vec{\omega})$$

Die IDs der $su(2)$ sind die D_j 's ($j=0, \frac{1}{2}, 1, \dots$)

- Jede Ds von $SU(2)$ induziert eine von $SU(2)$ durch

$$U(A) = \frac{d}{dt} U(V(t)) \Big|_{t=0}$$

falls $A = \frac{d}{dt} V(t) \Big|_{t=0}$, ($V(0) = 1$). Dabei

ist $U(V)$ durch $U(A)$ bestimmt:

$$U(e^{At}) = e^{U(A)t}$$

- Bsp: fundamentale Ds der $SU(2)$: $\mathcal{B} = \mathbb{C}^2$,
 $U(V) = V$, bzw. $U(A) = A$. Entspricht $D_{1/2}$.

- Satz Jeder Ds D_j ($j = 0, \frac{1}{2}, 1, \dots$) der $SU(2)$ entspricht eine U_j der $SU(2)$. Dabei gilt

$$U_j(-V) = (-1)^{2j} U_j(V).$$

$$A \in \text{SU}(2) \Leftrightarrow A = A(\vec{a}) = -\frac{i}{2} \sum_{j=1}^3 \sigma_j a_j \equiv -\frac{i}{2} \vec{\sigma} \cdot \vec{a} \quad (\vec{a} \in \mathbb{R}^3)$$

$$\sigma_1 = \begin{pmatrix} 0 & 1 \\ 1 & 0 \end{pmatrix}, \quad \sigma_2 = \begin{pmatrix} 0 & -i \\ i & 0 \end{pmatrix}, \quad \sigma_3 = \begin{pmatrix} 1 & 0 \\ 0 & -1 \end{pmatrix}$$

$$\sigma_1 \sigma_2 = i \sigma_3 \quad \& \quad \text{zykl.}$$

Lie-Algebra Isomorphismus

$$\text{SU}(2) \rightarrow \text{SO}(3)$$

$$A(\vec{a}) \mapsto R(\vec{a}), \quad R(\vec{a})\vec{x} = \vec{a} \wedge \vec{x}$$

$$\text{insb. } A_j := A(\vec{e}_j) = -\frac{i}{2} \sigma_j \mapsto R_j := R(\vec{e}_j)$$

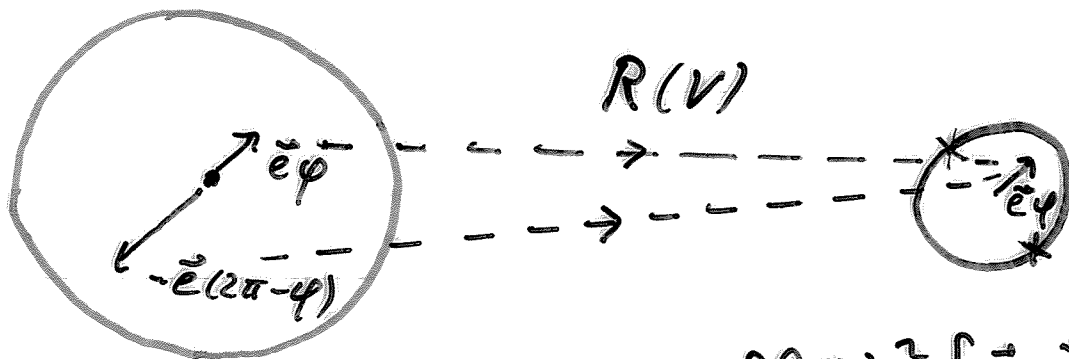
Gruppen Homomorphismus

$$\text{SU}(2) \rightarrow \text{SO}(3)$$

$$V \mapsto R, \quad V A(\vec{a}) V^* = A(R\vec{a})$$

$$\text{Kern} = \{\pm 1\}, \quad R(-V) = R(V)$$

$$\text{SO}(3) \cong \text{SU}(2) / \{\pm 1\}$$



$$\text{SU}(2) \cong \{ \vec{x} = \vec{e} \varphi \mid |\varphi| \leq 2\pi \}$$

mit Rand \equiv 1 Punkt

$$\text{SO}(3) \cong \{ \vec{x} = \vec{e} \varphi \mid |\varphi| \leq \pi \}$$

mit identifizierten Diagonalpunkten

[Die fundamentale Darstellung der]
 $so(3)$ als Darstellung der $su(2)$

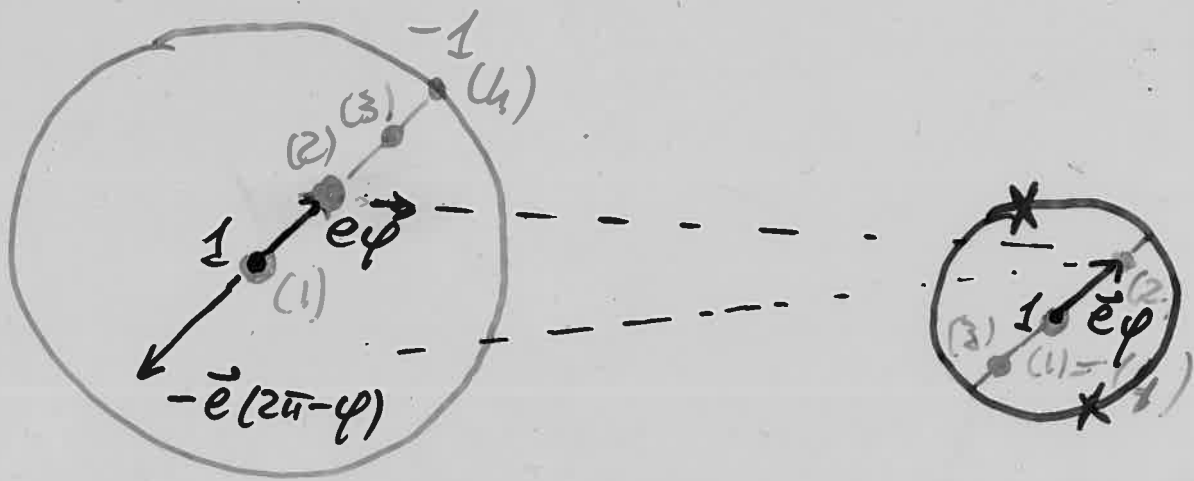
$$R: su(2) \rightarrow so(3)$$

$$A(\vec{a}) \mapsto \Omega(\vec{a})$$

$$(A(\vec{a}) = \frac{-i}{2} \vec{\sigma} \cdot \vec{a} , \quad \Omega(\vec{a})\vec{x} = \vec{a} \wedge \vec{x})$$

Äquivalent: $A \mapsto \Omega$ bestimmt durch

$$[A, A(\vec{b})] = A(\Omega\vec{b}) , \quad (\vec{b} \in \mathbb{R}^3)$$



$$SU(2) \cong \{ \vec{x} = \vec{e}\varphi \mid 0 \leq \varphi \leq 2\pi \}$$

mit Rand \equiv 1 Punkt

$$V = 1 \cos \frac{\varphi}{2} - i(\vec{\sigma} \cdot \vec{e}) \sin \frac{\varphi}{2}$$

$$= V(\vec{e}, \varphi)$$

$$= -V(-\vec{e}, 2\pi - \varphi)$$

$SU(2)$ ist einfach zusammenhängend

$$SO(3) \cong \{ \vec{x} = \vec{e}\varphi \mid 0 \leq \varphi \leq \pi \}$$

mit identifizierten Diametralpunkten

$$R = R(\vec{e}, \varphi)$$

$$= R(-\vec{e}, 2\pi - \varphi)$$

$SO(3)$ ist nicht einfach zusammenhängend

(ist zweifach zusammenhängend)

Zusammengesetzte Systeme:

Tensorprodukt

Klassisch: Systeme 1, 2 mit Zuständen/
Zustandsräumen $z_i \in \mathcal{L}_i$, ($i=1, 2$).

Zusammengesetztes System

$$(z_1, z_2) \in \mathcal{L}_1 \times \mathcal{L}_2 \quad (\text{kart. Prod.})$$

Quantenmechanisch: Aus $\mathcal{H}_1, \mathcal{H}_2$ wird
nicht $\mathcal{H}_1 \times \mathcal{H}_2 = \mathcal{H}_1 \oplus \mathcal{H}_2$, sondern
das Tensorprodukt

$$\mathcal{H} = \mathcal{H}_1 \otimes \mathcal{H}_2$$

"Praktische" Definition: $\mathcal{H}_1 \otimes \mathcal{H}_2$ ist ein
Hilbertraum

• mit Abbildung

$$\mathcal{H}_1 \times \mathcal{H}_2 \longrightarrow \mathcal{H}_1 \otimes \mathcal{H}_2$$

$$(\psi_1, \psi_2) \longmapsto \psi_1 \otimes \psi_2$$

Bilinear: linear in ψ_1 und in ψ_2

→ Neben "typischen Tensoren" $\psi_1 \otimes \psi_2$
enthält $\mathcal{H}_1 \otimes \mathcal{H}_2$ auch Superpositionen

$$\psi_1 \otimes \psi_2 + \psi_1 \otimes \psi_2$$

• Skalarprodukt

$$(\psi_1 \otimes \psi_2, \varphi_1 \otimes \varphi_2) := (\psi_1, \varphi_1) (\psi_2, \varphi_2)$$

und (Anti-) Linearität.

Tensorprodukt von Operatoren A_i auf \mathcal{H}_i :

$$A_1 \otimes A_2 \text{ auf } \mathcal{H}_1 \otimes \mathcal{H}_2,$$

definiert durch

$$(A_1 \otimes A_2) (\psi_1 \otimes \psi_2) = A_1 \psi_1 \otimes A_2 \psi_2$$

und Linearität.

Satz Die endlich dimensionalen iD_s , D_j , der $SO(3)$ sind parametrisiert durch

$$j = 0, \frac{1}{2}, 1, \frac{3}{2}, \dots$$

Es gilt

$$\dim D_j = 2j + 1$$

$$\vec{M}^2 \psi = j(j+1) \psi \quad (\psi \in D_j)$$

Bemerkung Von $SO(3)$ stammen nur die D_s mit j ganzzahlig

Clebsch-Gordan Reihe:

$$D_{j_1} \oplus D_{j_2} = D_{|j_1 - j_2|} \oplus D_{|j_1 - j_2 + 1|} \oplus \dots \oplus D_{|j_1 + j_2|}$$

Irreduzible Darstellung D_j .

Ausgezeichnete Basis* (orthonormiert)

$$\{|j, m\rangle\}_{m=-j}^j$$

mit

$$M^2 |j, m\rangle = j(j+1) |j, m\rangle$$

$$M_3 |j, m\rangle = m |j, m\rangle$$

$$M_{\pm} |j, m\rangle = \sqrt{j(j+1) - m(m\pm 1)} |j, m\pm 1\rangle$$

für $M_{\pm} = M_1 \pm iM_2$

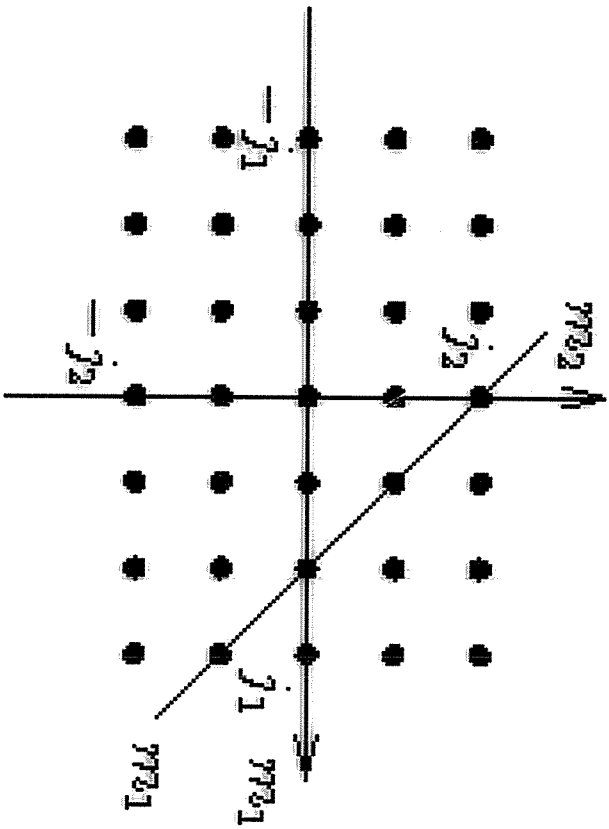
Basis eindeutig bis auf Phase von

$$|j, j\rangle.$$

* Normalbasis

$$\dim D_j = 2j+1$$

$z_{j_2, t+1}$



$$(-j_i \leq m_{j_i} \leq j_i, i = 1, 2)$$

$$m_{j_1} + m_{j_2} = m_{j_2}$$

$$c_{j_1} > c_{j_2}$$

$z_{j_1, t+1}$

Spin: Freiheitsgrad mit $\mathcal{H} = \mathbb{C}^2$
 und (fundamentale) Darstellung
 $U(V) = V$ der $SU(2) \ni V$
 (\rightarrow Darst. ist $D_{4/2}$)

Drehimpuls (Spin) $\vec{J} = \frac{1}{2} \vec{M}$
 mit $\vec{M} \cdot \vec{e}$ Erzeugende der Drehungen
 um Achse \vec{e} :

$$\vec{M} \cdot \vec{e} = i A(\vec{e}) = \frac{1}{2} \vec{\sigma} \cdot \vec{e}$$

(aufgrund des Isomorphismus $so(3) \rightarrow su(2)$,
 $\Omega(\vec{e}) \rightarrow A(\vec{e})$)

$\vec{\sigma} = (\sigma_1, \sigma_2, \sigma_3)$ Pauli-Matrizen

$$M_3 = \frac{\sigma_3}{2} = \frac{1}{2} \begin{pmatrix} 1 & 0 \\ 0 & -1 \end{pmatrix}, M_+ = \begin{pmatrix} 0 & 1 \\ 0 & 0 \end{pmatrix}, M_- = \begin{pmatrix} 0 & 0 \\ 1 & 0 \end{pmatrix}$$

Normalbasis $|j = \frac{1}{2}, m\rangle$ ($m = \pm \frac{1}{2}$) ist
 Standardbasis für \mathbb{C}^2 :

$$|\vec{e}_3\rangle = \left| \frac{1}{2}, \frac{1}{2} \right\rangle = \begin{pmatrix} 1 \\ 0 \end{pmatrix}, |\vec{e}_3^-\rangle = \left| \frac{1}{2}, -\frac{1}{2} \right\rangle = \begin{pmatrix} 0 \\ 1 \end{pmatrix}$$

Orbit und Spin

Hilbertraum eines Elektrons

$$\mathcal{H} = L^2(\mathbb{R}^3) \otimes \mathbb{C}^2$$

↑
Orbit

↑
Spin

mit Darstellung

$$U(U) = U(R(U)) \otimes V$$

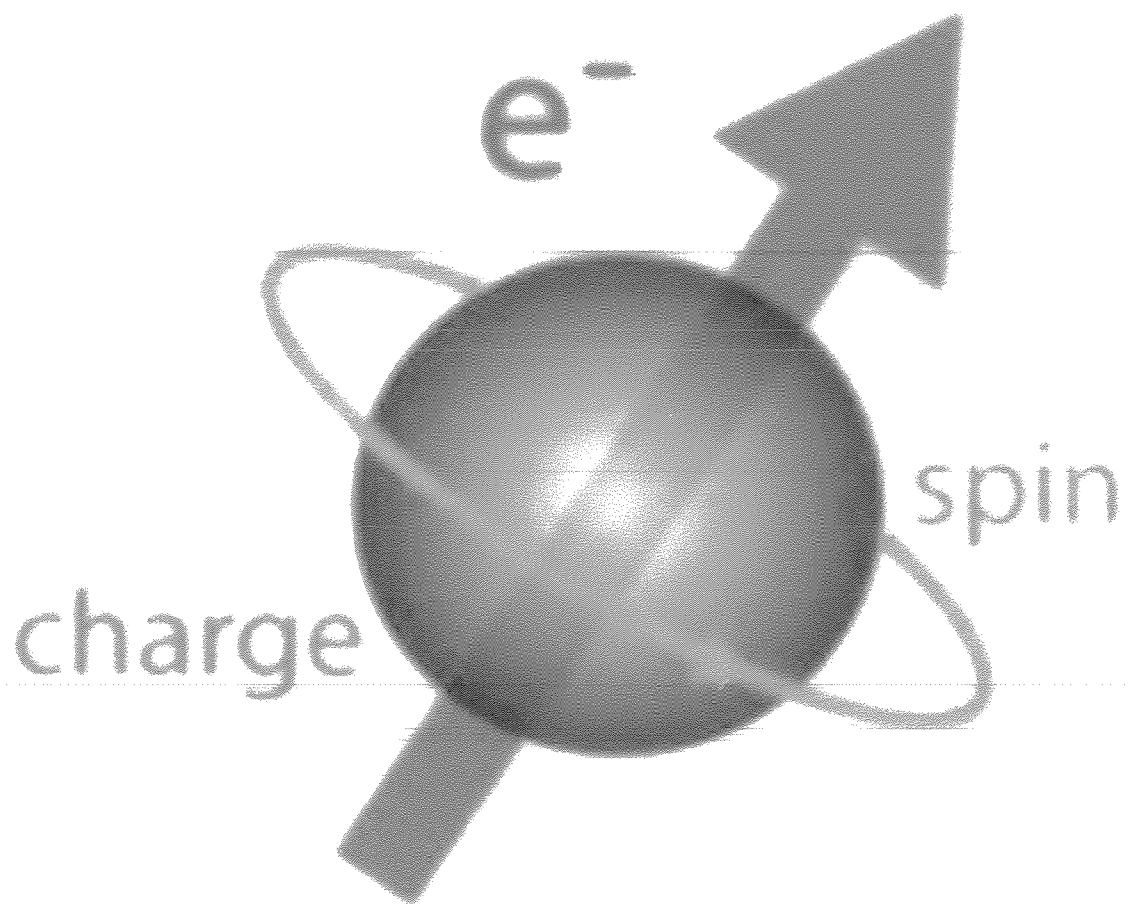
$$(U(R) \psi)(\vec{x}) = \psi(R^{-1} \vec{x}), \quad \psi \in L^2(\mathbb{R}^3)$$

Gesamt Drehimpuls

$$\vec{J} = \vec{L} \otimes 1 + 1 \otimes \vec{S}$$

↑
Orbit Drehimpuls

↑
Spin Drehimpuls



Beispiel: Spin $\frac{1}{2}$:

Vollständig gemischter Zustand

$$P = \frac{1}{2} |\vec{e}_3\rangle\langle\vec{e}_3| + \frac{1}{2} |-\vec{e}_3\rangle\langle-\vec{e}_3| = \frac{1}{2} \mathbb{1}$$

ist verschieden von jedem reinen Zustand $|\psi\rangle$.

Denn: Messung des Spins in Rfz \vec{e}

• In P :

$$+\frac{\hbar}{2} \text{ mit W'heit } \frac{1}{2} |\langle\vec{e}|\vec{e}_3\rangle|^2 + \frac{1}{2} |\langle\vec{e}|-\vec{e}_3\rangle|^2 = \frac{1}{2}$$

$$-\frac{\hbar}{2} \quad " \quad = \frac{1}{2}$$

unabhängig von \vec{e}

• In $|\psi\rangle$

$$+\frac{\hbar}{2} \text{ mit W'heit } |\langle\vec{e}|\psi\rangle|^2$$

$$-\frac{\hbar}{2} \quad " \quad |\langle-\vec{e}|\psi\rangle|^2$$

abhängig von \vec{e}

Gemischter Zustand

$$P = \sum_k w_k |\varphi_k\rangle\langle\varphi_k|$$

- Präparation von P : Präpariere $|\varphi_k\rangle$ mit W'keit w_k

- Erwartungswerte von A im Zustand P

$$\begin{aligned}\langle A \rangle_P &= \sum_k w_k \langle \varphi_k | A | \varphi_k \rangle \\ &= \text{tr}(PA)\end{aligned}$$

Insbesondere: ja/nein-Observable (Ereignis)

($A = A^2$): Wert des Eintretens

$$W = \text{tr}(PA).$$

- Dynamik: $|\varphi_k\rangle \mapsto |\varphi_k(t)\rangle$ mit

$$i\hbar \frac{d}{dt} |\varphi_k(t)\rangle = H |\varphi_k(t)\rangle$$

$$\begin{aligned}\rightarrow i\hbar \frac{d}{dt} P &= \sum_k w_k (H |\varphi_k\rangle\langle\varphi_k| - |\varphi_k\rangle\langle\varphi_k| H) \\ &= [H, P] \quad (\text{Liouville - von Neumann})\end{aligned}$$

Allgemeines QM-System

- (Reine) Zustände

$$|\psi\rangle \quad \Leftrightarrow \quad P = |\psi\rangle\langle\psi|$$

(bis auf Phase) Projektor, $\text{Dim} = 1$

Dem klassischen Begriff der statistischen Mischung entsprechend

- Gemischte Zustände

Dichtematrizen, d.h. Operatoren P mit

$$P = P^*, \quad P \geq 0, \quad \text{tr} P = 1$$

Spektraldarstellung:

$$P = \sum_k w_k |\varphi_k\rangle\langle\varphi_k|$$

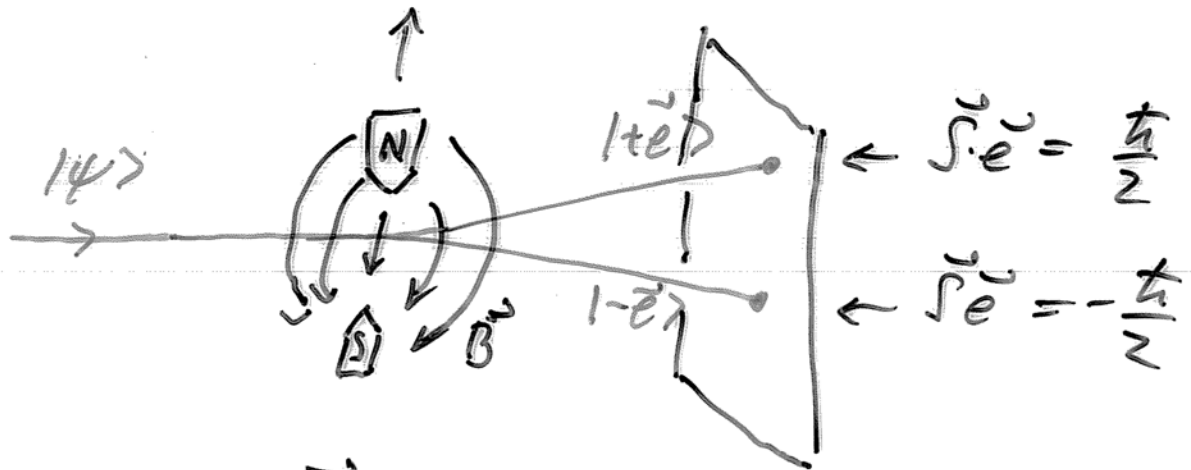
mit $w_k \geq 0$, $\sum_k w_k = 1$

→ Interpretation:

P ist die (inkohärente) Mischung der reinen Zustände $|\varphi_k\rangle$ mit W'keiten w_k .

Spin $\frac{1}{2}$ - Teilchen, Spinkomponente in Richtung \vec{e}

- gemessen mit Stern-Gerlach-Analysator (Achse \vec{e})



- Operator: $\vec{S} \cdot \vec{e} = \frac{\hbar}{2} \vec{\sigma} \cdot \vec{e}$
(Eigenwerte $\pm \hbar/2$, Eigenvektoren $|\pm \vec{e}\rangle$)

$$(\vec{\sigma} \cdot \vec{e}) |\pm \vec{e}\rangle = (\pm 1) |\pm \vec{e}\rangle$$

- entsprechende Ereignisse: Projektoren

$$P_{\pm} = |\pm \vec{e}\rangle \langle \pm \vec{e}|$$

- Teilchen im Zustand $|\psi\rangle$: Messergebnis mit W'keit

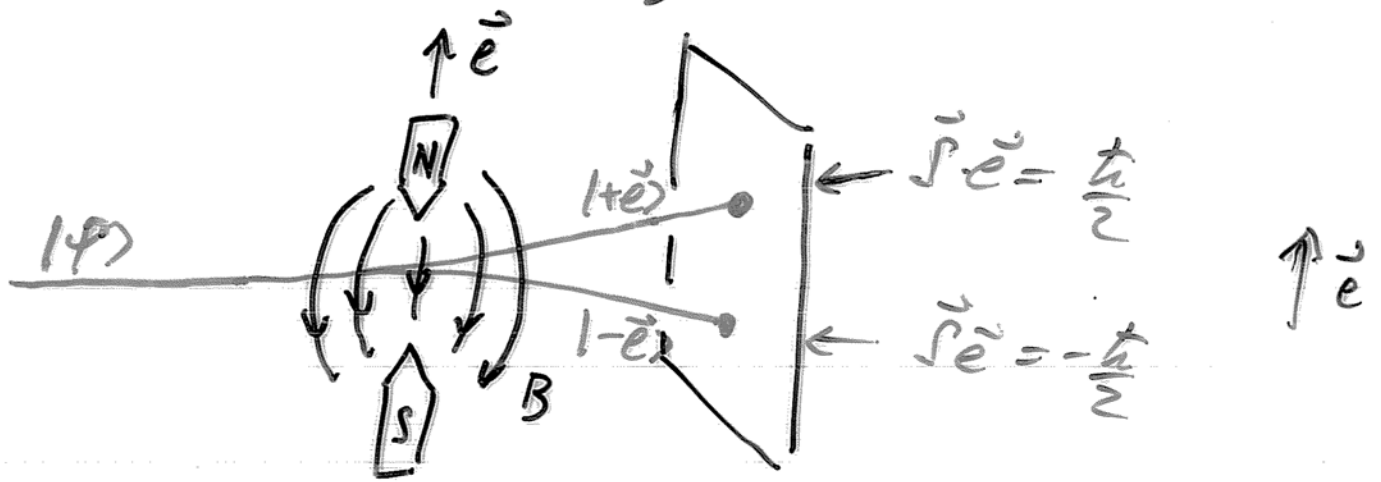
$$W_{\pm} = \langle \psi | P_{\pm} | \psi \rangle = |\langle \pm \vec{e} | \psi \rangle|^2 \quad (*)$$

Jedes Paar $\{ |+\vec{e}\rangle, |-\vec{e}\rangle \}$ bildet o.u. Basis für \mathbb{C}^2 ,

$$|\vec{e}'\rangle = c_+ |+\vec{e}\rangle + c_- |-\vec{e}\rangle, \quad c_{\pm} = \langle \pm \vec{e} | \vec{e}' \rangle$$

(kohärente Superposition)

Stern-Gerlach Anordnung



liefert eine Messung des Spins in Richtung \vec{e}

$$\vec{S} \cdot \vec{e} = \frac{\hbar}{2} \vec{\sigma} \cdot \vec{e}$$

QM-Observable $\vec{\sigma} = (\sigma_1, \sigma_2, \sigma_3)$

$$\sigma_1 = \begin{pmatrix} 0 & 1 \\ 1 & 0 \end{pmatrix}, \quad \sigma_2 = \begin{pmatrix} 0 & -i \\ i & 0 \end{pmatrix}, \quad \sigma_3 = \begin{pmatrix} 1 & 0 \\ 0 & -1 \end{pmatrix}$$

Eigenvektoren $|\pm \vec{e}\rangle$ von $\vec{\sigma} \cdot \vec{e}$: Zustände, in denen der Messwert ($\pm \hbar/2$) mit Sicherheit angenommen wird.

Bsp: • $\vec{e} = \vec{e}_3$: $|\vec{e}_3\rangle = \begin{pmatrix} 1 \\ 0 \end{pmatrix}$, $|- \vec{e}_3\rangle = \begin{pmatrix} 0 \\ 1 \end{pmatrix}$

• $\vec{e} = \vec{e}_1$: $|\vec{e}_1\rangle = \frac{1}{\sqrt{2}} \begin{pmatrix} 1 \\ 1 \end{pmatrix}$, $|- \vec{e}_1\rangle = \frac{1}{\sqrt{2}} \begin{pmatrix} 1 \\ -1 \end{pmatrix}$.

$$|\vec{e}_1\rangle = \frac{1}{\sqrt{2}} (|\vec{e}_3\rangle + |- \vec{e}_3\rangle), \quad |- \vec{e}_1\rangle = \frac{1}{\sqrt{2}} (|\vec{e}_3\rangle - |- \vec{e}_3\rangle)$$

sind kohärente Superpositionen von $|\vec{e}_3\rangle, |- \vec{e}_3\rangle$.

- Bahn koppelt an \vec{B} -Feld :

$$H_{1B} = \mu_B \vec{B} \cdot \vec{L} \quad (g=1)$$

- Spin koppelt an \vec{B} -Feld

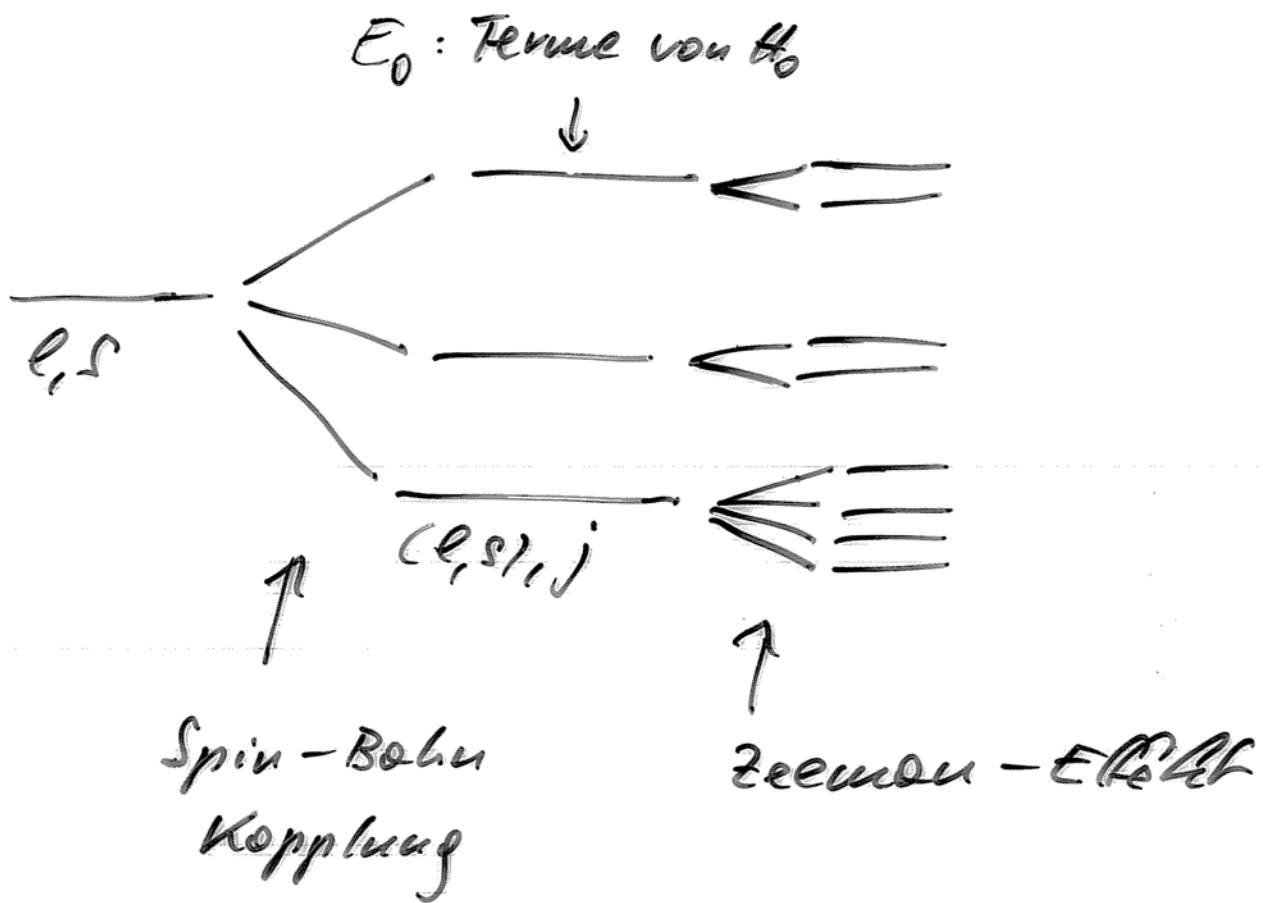
$$H_{1S} = - \vec{B} \cdot \vec{\mu}$$

über das magnetische Moment

$$\vec{\mu} = -g_0 \mu_B \vec{S}$$

(werden sehen: $g_0=2$), also

$$H_{1S} = g_0 \mu_B \vec{B} \cdot \vec{S}$$



Hamilton-Operator: $H = H_0 + H_1$

- H_0 rotationsymm. (inkl. Spin-Orbit-Kopp!.)

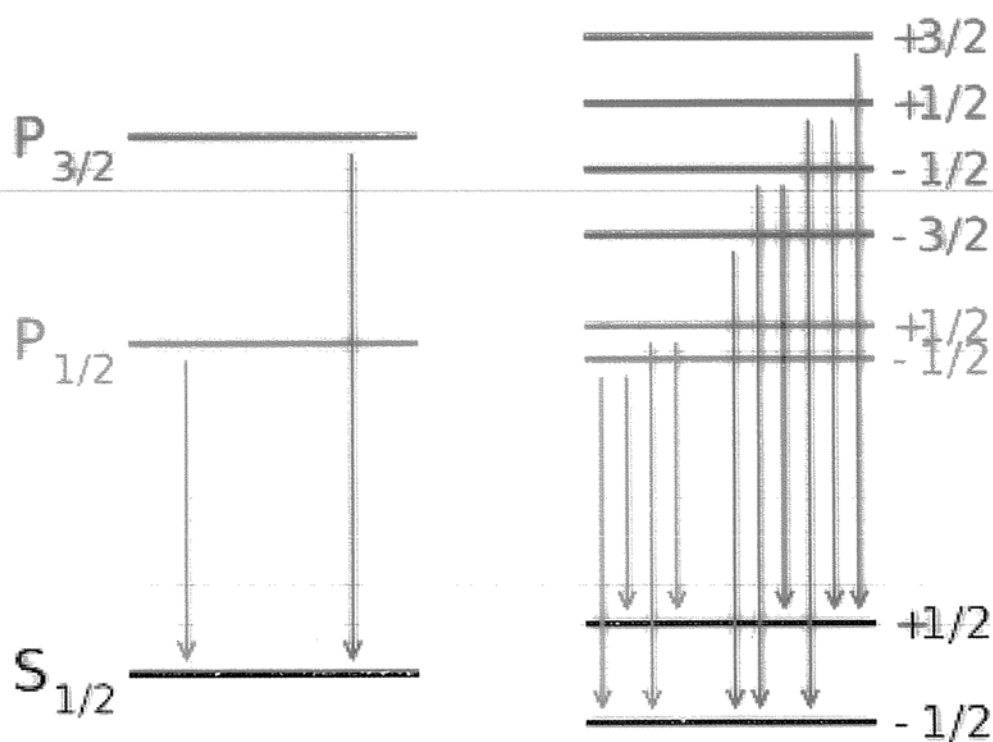
$$[H_0, \vec{J}] = 0 \quad \text{exakt.}$$

$[H_0, \vec{L}^2] = 0$, $[H_0, \vec{S}^2] = 0$ annähernd
(nur falls H_0 unter separaten Drehungen
in Orts- und Spin-Raum invariant
ist)

- $H_1 = \mu_B \vec{B} \cdot (\vec{L} + g_0 \vec{S}) = \mu_B \vec{B} \cdot (\vec{J} + (g_0 - 1) \vec{S})$

g_0 : gyromagnetischer Faktor der e^- .

Anomalous Zeeman Effect



Anomaler Zeeman-Effekt

- Aufspaltung eines Terms im \vec{B} -Feld

$$\Delta E_m = g \mu_B B m \quad (m = -j, \dots, j)$$

mit

$$g = 1 + \frac{j(j+1) + s(s+1) - l(l+1)}{2j(j+1)}$$

- Übergänge genügen den Auswahlregeln

$$j \rightarrow j \pm 1, \dots, |j-1|, \quad m \rightarrow m, m \pm 1$$

Bemerkung $(\vec{J} = \vec{L} \otimes \mathbb{1} + \mathbb{1} \otimes \vec{S})$

- j aus $l+s, l+s-1, \dots, |l-s|$
- Für $s=0$ ($j=l$) ist $g=1$
- " $l=0$ ($j=s$) " $g=2$

Satz von Wigner-Eckart (Spezialfall)

\mathcal{H} trage eine irreduzible Darstellung von $SU(2)$ mit Drehimpulsoperator \vec{M} . Dann ist jeder weitere Vektoroperator $\vec{W} : \mathcal{H} \rightarrow \mathcal{H}$ proportional zu \vec{M} :

$$\vec{W} = \kappa \vec{M}$$

für ein $\kappa \in \mathbb{R}$.

\mathcal{H} Hilbertraum mit Darstellung $U(V)$
der $SU(2) \ni V$. Def.

$$\vec{W} = \sum_j W_j \vec{e}_j$$

ist Vektoroperator, falls

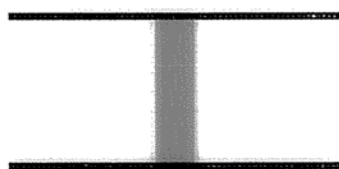
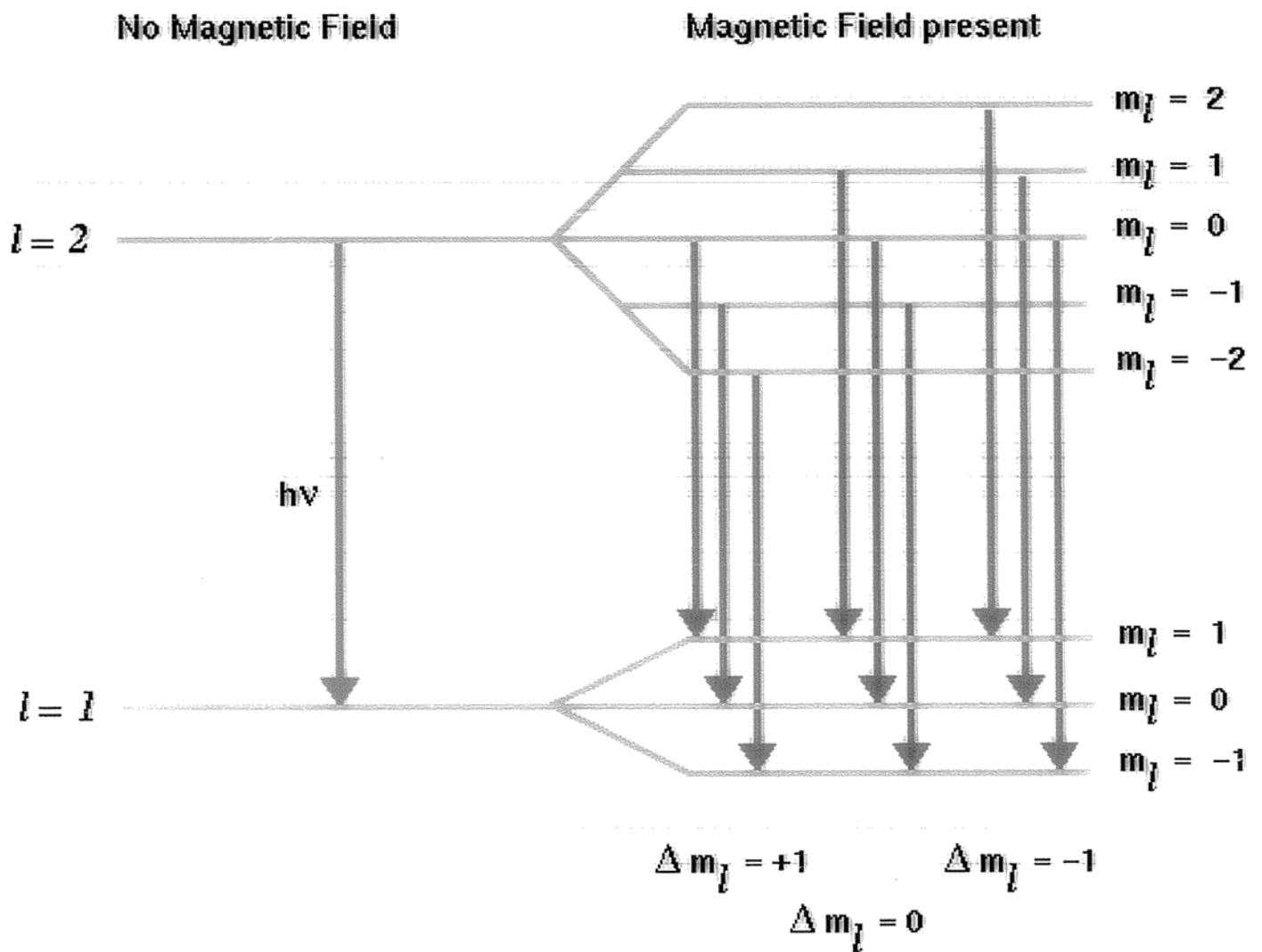
$$U(V)(\vec{W} \cdot \vec{e}) U(V)^{-1} = \vec{W} \cdot R\vec{e}$$

(alle $\vec{e} \in \mathbb{R}^3$, $V \in SU(2)$) mit $R = R(V)$,
d.h.

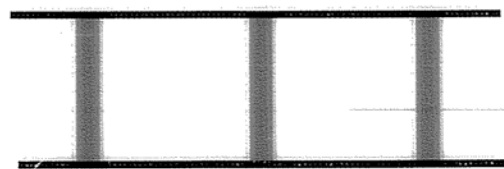
$$U(V)W_j U(V)^{-1} = \sum_{i=1}^3 R_{ij} W_i$$

Beispiele. $\vec{x}, \vec{p}, \vec{L}, S$

Normaler Zeeman-Effekt



Spectrum without magnetic field



Spectrum with magnetic field present

Zeeman-Effekt (Theorie ohne Spin)

Aufspaltung der Energieniveaus (Terme) eines Atoms im äusseren Magnetfeld $B\vec{e}_3$

$$H = H_0 + \mu_B B M_3$$

mit

H_0 : ungestörtes Atom, rotations-symmetrisch

$$\mu_B = \frac{e\hbar}{2mc} \quad (\text{Bohrsches Magneton})$$

$$\vec{L} = \hbar \vec{M} \quad \text{Bahndrehimpuls}$$

Jedem Term E_0 entspricht Eigenraum; dieser trägt eine i. A. irreduzible Darstellung D_j der $SO(3)$.

$$\rightarrow \text{Aufspaltung: } E_0 \rightarrow E_0 + \mu_B B m = E_{0m} \\ (m = -j, \dots, j)$$

Folgerung:

- j ganzzahlig
- Aufspaltung universell: $\Delta E_{0m} = \mu_B B$
(unabh. vom Term)

Beobachtung: Nein (anomaler Zeeman-Effekt)

zeitabhängige Störungsrechnung:

$$H(t) = H_0 + H_1(t)$$

↑ Störung

$$H_0 |\psi_0\rangle = E_0 |\psi_0\rangle, \quad H_0 |\psi_1\rangle = E_1 |\psi_1\rangle$$

Übergangsw'keit $0 \rightarrow 1$ in 1. Ordnung
Störungsrechnung

$$W_{10} = \frac{1}{\hbar^2} \left| \int_{-\infty}^{\infty} dt e^{\frac{i}{\hbar} (E_1 - E_0)t} \langle \psi_1 | H_1(t) | \psi_0 \rangle \right|^2$$

$$\omega_{10} = \frac{E_1 - E_0}{\hbar} : \pm \text{Bohrsche Frequenz.}$$

Bsp.: H_0 : Atom bei $\vec{x}=0$

$H_1(t)$: WW infolge e.m. Strahlung
(Dipolnäherung, $\vec{E}(t) \equiv \vec{E}(\vec{x}=0, t)$)

$$W_{10} = \frac{1}{\hbar^2} \left| \vec{E}(\omega_{10}) \cdot \langle \psi_1 | \vec{D} | \psi_0 \rangle \right|^2$$

mit $\vec{E}(\omega) = \int dt e^{i\omega t} \vec{E}(t)$

$$\vec{D} = \sum_k e_k \vec{x}_k : \text{Dipolmoment.}$$

Feld $\vec{E}(t) = \vec{E}(\vec{x}=0, t)$ reell

$$\vec{E}(\omega) = \int dt e^{i\omega t} \vec{E}(t) = \overline{\vec{E}(-\omega)}$$

$$\begin{aligned} \vec{E}(t) &= \frac{1}{2\pi} \int d\omega e^{-i\omega t} \vec{E}(\omega) \\ &= \frac{1}{2\pi} \int_0^{\infty} d\omega \left(\vec{E}(\omega) e^{-i\omega t} + \overline{\vec{E}(\omega) e^{i\omega t}} \right) \end{aligned}$$

Welle beschrieben durch $\vec{E}(\omega)$, ($\omega \geq 0$)

Polarisation: $\vec{E}(\omega) = \vec{E}(\omega) \vec{e}$, ($\vec{e} \in \mathbb{R}^3$)
 $\overline{\vec{E}(-\omega)} = \vec{E}(\omega) \vec{e}$

Übergang $0 \rightarrow 1$, $\omega_{10} = (E_1 - E_0)/\hbar$

- Absorption $E_1 > E_0$

$$W_{10} = \frac{1}{\hbar^2} |\vec{E}(\omega_{10})|^2 |\langle \psi_1 | \vec{D} \cdot \vec{e} | \psi_0 \rangle|^2$$

- Emission $E_1 < E_0$

$$W_{10} = \frac{1}{\hbar^2} |\vec{E}(\omega_{01})|^2 |\langle \psi_1 | \vec{D} \cdot \vec{e} | \psi_0 \rangle|^2$$

- Ungestörter Hamiltonoperator H_0 mit normierbarem Eigenzustand $|\psi_0\rangle$

$$H_0|\psi_0\rangle = E_0|\psi_0\rangle, \quad \langle\psi_0|\psi_0\rangle = 1$$

und Kontinuierliche Eigenzustände $|\psi(E)\rangle$

$$H_0|\psi(E)\rangle = E|\psi(E)\rangle, \quad \langle\psi(E)|\psi(E')\rangle = \delta(E-E')$$

- Monochromatische Störung

$$H_1(t) = H_1 e^{-i\omega t} + H_1^* e^{i\omega t}, \quad (\omega > 0)$$

bzw.

$$H_1(t) = H_1 = H_1^*, \quad (\omega = 0)$$

induziert Übergänge ins Kontinuum



mit der W'irkungsrate

$$P = \frac{2\pi}{\hbar} |\langle\psi(E_0 + \hbar\omega)|H_1|\psi_0\rangle|^2$$

(Goldene Regel)

Ausgangspunkt für Übergangsraten

$$H(t) = H_0 + H_1(t)$$

H_0 : Atom, \sim (bei $\vec{x} \approx 0$)
Eigenzustände $|\psi_i\rangle$, ($i=0,1$)

$$H_0 |\psi_i\rangle = E_i |\psi_i\rangle$$

$$E_1 - E_0 =: \hbar \omega_{10}$$

$H_1(t)$: Wechselwirkung Strahlung \leftrightarrow
Atom in Dipolnäherung

$$\begin{aligned} H_1(t) &= -\frac{1}{c} \vec{A}(\vec{x}=0, t) \cdot \sum_{\vec{k}} e_{\vec{k}} \frac{\vec{p}_{\vec{k}}}{m_e} \\ &= -\frac{1}{c} \vec{A}(0, t) \cdot \frac{i}{\hbar} [H_0, \vec{D}] \end{aligned}$$

Zeitabhängige Störungsrechnung

$$H(t) = H_0 + H_1(t), \quad (0 \leq t \leq T)$$

- H_0 ungestörter Hamiltonoperator mit Eigenzuständen $|\psi_0\rangle, |\psi_1\rangle$ (Energien E_0, E_1)
- $H_1(t)$ entweder

(i) stationäre Störung: $H_1(t) = H_1 = H_1^*$
oder

(ii) Störung fester Frequenz:

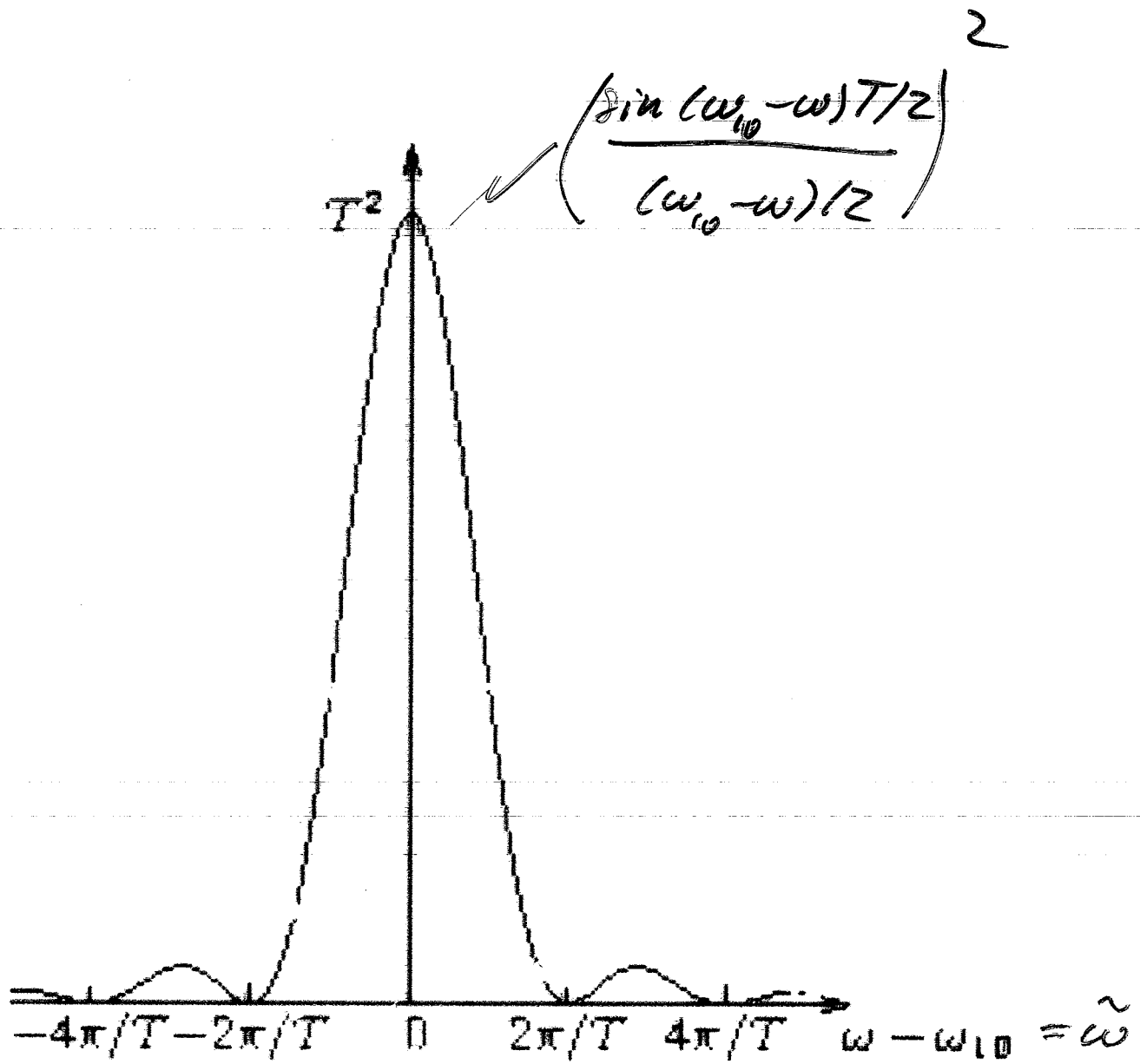
$$H_1(t) = H_1 e^{-i\omega t} + H_1^* e^{i\omega t}, \quad (\omega > 0)$$

Rechnung für $H_1(t) = H_1 e^{-i\omega t}$.

Wahrscheinlichkeit für Übergang $|\psi_0\rangle \rightarrow |\psi_1\rangle$

$$W = \frac{1}{\hbar^2} |\langle \psi_1 | H_1 | \psi_0 \rangle|^2 \left(\frac{\sin(\omega_{10} - \omega)T/2}{(\omega_{10} - \omega)/2} \right)^2$$

wobei $\omega_{10} = \frac{E_1 - E_0}{\hbar}$



Übergänge $|\psi_0\rangle \rightarrow |\psi_1\rangle$ im Wesentlichen nur hier

$$|\omega_{10} - \omega| \lesssim \frac{2\pi}{T}$$

d.h. hier

$$|(E_1 - E_0) - \hbar\omega| \lesssim \frac{2\pi\hbar}{T}$$

Beweis beruht auf

$$\int_0^T e^{i\tilde{\omega}t} dt = e^{i\tilde{\omega}T/2} \frac{\sin \tilde{\omega}T/2}{\tilde{\omega}/2}$$

Folgerung (aus Bild)

$$\left(\frac{\sin \tilde{\omega}T/2}{\tilde{\omega}/2} \right)^2 \approx \text{CCT} \delta(\tilde{\omega})$$

mit $\text{CCT} \propto T$. In der Tat (Parseval-Identität)

$$\begin{aligned} \int_{-\infty}^{\infty} \left(\frac{\sin \tilde{\omega}T/2}{\tilde{\omega}/2} \right)^2 d\tilde{\omega} &= 2\pi \int_{-\infty}^{\infty} \underbrace{P_{[0,T]}^2}_{(H)} dt \\ &= 2\pi T \quad (= \text{CCT}) \end{aligned}$$

$(P_{[0,T]}(\cdot))$ charakteristische Funktion
von $[0, T]$

Goldene Regel: Übergänge von $|\psi_0\rangle$ (Energie E_0) zu einem Kontinuum von Endzuständen $|\psi_1\rangle$ (Energie E_1) infolge Störung H_1 erfolgen mit Rate

$$\frac{2\pi}{\hbar} |\langle \psi_1 | H_1 | \psi_0 \rangle|^2 \delta(E_1 - E_0),$$

zu summieren über alle ausgewählten Endzustände $|\psi_1\rangle$.

Auch:

$$\Gamma = \frac{2\pi}{\hbar} |\langle \psi_1 | H_1 | \psi_0 \rangle|^2 \rho(E_0)$$

wobei $\rho(E_0)$ Zustandsdichte der ausgewählten Endzust. $|\psi_1\rangle$,

sofern

$$|\langle \psi_1 | H_1 | \psi_0 \rangle|^2$$

davon unabhängig ist (ansonsten: Mittelwert)

Alternative Schreibweisen:

$$\Gamma = \frac{2\pi}{\hbar} \frac{d}{d\lambda} \langle \psi_0 | H, P_{(-\infty, \lambda)}(H_0) H, |\psi_0 \rangle \rangle$$

$\lambda = E_0 + i\epsilon$

mit dem spektralen Projektor

$$P_{(-\infty, \lambda)}(H_0) = \int_{-\infty}^{\lambda} |\psi(E)\rangle \langle \psi(E)| dE$$

$$+ \sum_{\substack{i \\ E_i < \lambda}} |\psi_i\rangle \langle \psi_i|$$

unabh. von λ unabh. $E_0 + i\epsilon$

Alternative Schreibweisen von H_0

- Oft: Kontinuums-eigenzustände nicht durch Energie E gekennzeichnet, sondern durch andere Quantenzahlen

Bsp: freies Teilchen; durch Impuls \vec{h}

$$H_0 |\psi(\vec{h})\rangle = E(\vec{h}) |\psi(\vec{h})\rangle$$

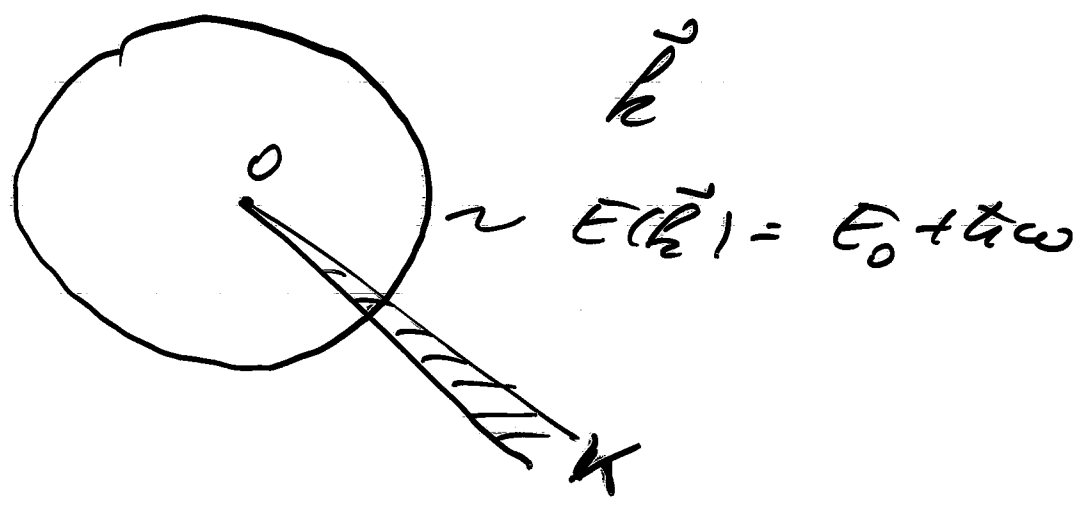
mit $\langle \psi(\vec{h}) | \psi(\vec{h}') \rangle = \delta^{(3)}(\vec{h} - \vec{h}')$

$$E(\vec{h}) = \hbar^2 \vec{h}^2 / 2m$$

Dann

$$\Gamma_{\text{abs}} = \frac{2\pi}{\hbar} \int_K d^3k |\langle \psi(\vec{k}) | H_1 | \psi_0 \rangle|^2 \delta(E(\vec{k}) - (E_0 + \hbar\omega))$$

wobei $\vec{k} \in K$ eine Selektion der Endzustände ist (z.B. Streuung in einem Kegel $K \subset \mathbb{R}^3$)



Bei Quasi-Kontinuum:

$$P(E_0) = \varepsilon^{-1} \# \{ \alpha \mid |E_\alpha - E_0| < \varepsilon/2 \}$$

Dichte der Endzustände α

Klassisches Feld im Hohlraum $V \subset \mathbb{R}^3$
 ideal leitende Wände:

$$\vec{E} = -\frac{1}{c} \frac{\partial \vec{A}}{\partial t}, \quad \vec{B} = \text{rot} \vec{A}$$

mit Coulomb-Eichung $\text{div} \vec{A} = 0, \varphi = 0$

Randbedingung:

$$\vec{E}_{\parallel} = 0, \quad \vec{B}_{\perp} = 0 \quad (\text{auf } \partial V)$$

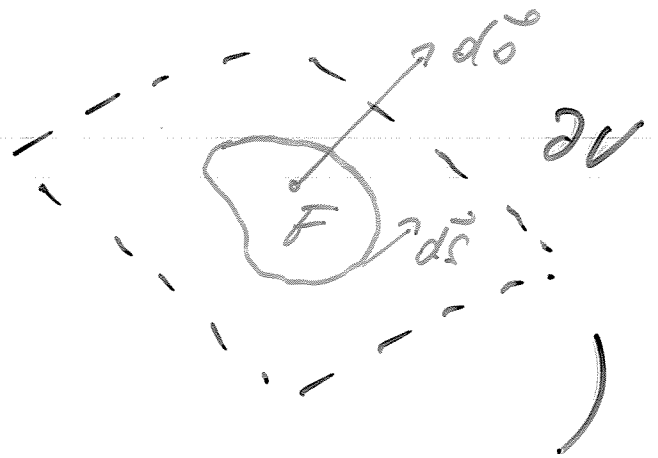
erhält auch

$$\vec{A}_{\parallel} = 0 \quad (\text{auf } \partial V)$$

(denn für $F \subset \partial V$

$$\int_{\partial F} \vec{A}_{\parallel} \cdot d\vec{s} = \int_F \vec{B}_{\perp} \cdot d\vec{\sigma}$$

$$\text{also } \vec{A}_{\parallel} = 0 \Rightarrow \vec{B}_{\perp} = 0$$



Bewegungsgleichung: Maxwell-Gl.

$$\square \vec{A} \equiv \left(\frac{1}{c^2} \frac{\partial^2}{\partial t^2} \vec{A} - \Delta \vec{A} \right) = 0$$

Klassische Feld im Hohlraum V

Eigenoscillierungen

$$\vec{A}(\vec{x}, t) = \vec{A}_\alpha(\vec{x}) e^{\pm i\omega_\alpha t}$$

mit

$$\left. \begin{aligned} -\Delta \vec{A}_\alpha &= \left(\frac{\omega_\alpha}{c}\right)^2 \vec{A}_\alpha \\ \operatorname{div} \vec{A}_\alpha &= 0 \end{aligned} \right\} \text{ in } V$$

$$\vec{A}_{\alpha \parallel} = 0 \quad \text{auf } \partial V$$

$-\Delta$ (mit Randbedingung) ist selbstadjungiert auf divergenzfreien Vektorfeldern mit Skalarprodukt

$$(\vec{A}_1, \vec{A}_2) = \int_V d^3x \vec{A}_1(\vec{x}) \cdot \vec{A}_2(\vec{x})$$

$$\rightarrow (\vec{A}_\alpha, \vec{A}_\beta) = 0 \quad (\alpha \neq \beta)$$

Normierung: $(\vec{A}_\alpha, \vec{A}_\beta) = 4\pi c^2 \delta_{\alpha\beta}$

- Falls \vec{A}_α Eigenschwingung (zur Freq. ω_α), so auch \vec{A}_α^*

→ Eigenschw. können reell gewählt werden (müssen aber nicht)

Bsp. 1. Würfel V , ($0 \leq x_i \leq L$, $i=1,2,3$)
ideal leitende Wände.

Eigenschwingungen sind $\vec{A} = \vec{A}_\alpha$ mit

$$A_i(\vec{x}) = e_i \cos(k_i x_i) \sin(k_{i+1} x_{i+1}) \sin(k_{i+2} x_{i+2})$$

wobei

$$k_i = \frac{\pi}{L} v_i \quad (v_i \text{ ganz, } \geq 0, \text{ höchstens eines } = 0)$$

$$\sum_i e_i k_i \equiv \vec{e} \cdot \vec{k} = 0$$

also $\alpha = (k, \vec{e})$ (reelle ES)

Bsp. 2. Würfel mit periodischen Rd. Bdg.

Eigenschwingungen

$$\vec{A}_\alpha(\vec{x}) = \sqrt{\frac{4\pi c^2}{V}} \vec{e} e^{i\vec{k}\vec{x}}$$

wobei $k_i = \frac{2\pi}{L} v_i$ (v_i ganz), $\vec{e} \cdot \vec{k} = 0$

(komplexe ES)

Beispiel: Kerker mit periodischen
Randbedingungen:

$$\rho = (\vec{k}, \vec{e}) \quad \text{mit } \vec{k} \text{ quantisiert}$$

$$\vec{k} \perp \vec{e} \quad \vec{e}: \text{zwei mögliche Polarisierungen}$$

$$\vec{A}_{\rho}(\vec{x}) = \sqrt{\frac{4\pi c^2}{V}} \vec{e} e^{i\vec{k} \cdot \vec{x}}$$

Zerlegung nach Eigenschwingungen

$$\vec{A}(\vec{x}, t) = \sum_{\alpha} q_{\alpha}(t) \vec{A}_{\alpha}(\vec{x})$$

$$\vec{E}(\vec{x}, t) = -\frac{1}{c} \sum_{\alpha} p_{\alpha}(t) \vec{A}_{\alpha}(\vec{x})$$

Feldenergie

$$\frac{1}{8\pi} \int_V d^3x (\vec{E}^2 + \vec{B}^2) = \frac{1}{2} \sum_{\alpha} (p_{\alpha}^2 + \omega_{\alpha}^2 q_{\alpha}^2)$$

$$=: H$$

- Maxwell-Gl. \equiv kanonische Bewegungsgleichungen zu H
- E. m. Feld \equiv ω -viele unabhängige harmonische Oszillatoren

• Modendichte:

$$N(\omega) = \# \{ \text{Moden mit Frequenzen} \leq \omega \}$$

$$\frac{dN}{d\omega} = \frac{V}{\pi^2 c^3} \omega^2 \quad (\omega \rightarrow \infty)$$

für beide Beispiele
(und überhaupt für jede Gestalt des
Hohlraums)

Quantisierung

$$H = \sum_{\alpha} \hbar \omega_{\alpha} a_{\alpha}^{\dagger} a_{\alpha}$$

mit Erzeugungs- und Vernichtungsoperatoren

$$a_{\alpha}^{\dagger} = \frac{1}{\sqrt{2\hbar\omega_{\alpha}}} (\omega_{\alpha} q_{\alpha} + i p_{\alpha})$$

$$a_{\alpha} = \frac{1}{\sqrt{2\hbar\omega_{\alpha}}} (\omega_{\alpha} q_{\alpha} - i p_{\alpha})$$

(α bei komplexen Eigenwerten.)

- erhalten $[a_{\alpha}, a_{\beta}] = 0 = [a_{\alpha}^{\dagger}, a_{\beta}^{\dagger}]$
 $[a_{\alpha}, a_{\beta}^{\dagger}] = \delta_{\alpha\beta}$
- wirken auf Vakuum $|0\rangle$,

$$a_{\alpha} |0\rangle = 0$$

und auf die Zustände

$$|n_1, n_2, \dots\rangle = \frac{1}{\sqrt{n_1! n_2! \dots}} (a_1^{\dagger})^{n_1} (a_2^{\dagger})^{n_2} \dots |0\rangle$$

$$(n_{\alpha} \in \mathbb{N}, \sum_{\alpha} n_{\alpha} < \infty)$$

Die Anregungen jeder Mode α sind quantisiert.
Photonen, in Anzahl n_{α}

- $a_{\alpha}^{\dagger} |n_1, n_2, \dots, n_{\alpha}, \dots\rangle = \sqrt{n_{\alpha} + 1} |n_1, n_2, \dots, n_{\alpha} + 1, \dots\rangle$

$$a_{\alpha} |n_1, n_2, \dots, n_{\alpha}, \dots\rangle = \begin{cases} \sqrt{n_{\alpha}} |n_1, n_2, \dots, n_{\alpha} - 1, \dots\rangle & (n_{\alpha} > 0), \\ 0 & (n_{\alpha} = 0) \end{cases}$$

$$\rightarrow a_{\alpha}^{\dagger} a_{\alpha} |n_1, n_2, \dots\rangle = n_{\alpha} |n_1, n_2, \dots\rangle$$

- Field operator

$$\vec{A}(\vec{x}) = \sum_{\alpha} \sqrt{\frac{\hbar}{2m\omega_{\alpha}}} (a_{\alpha} + a_{\alpha}^{\dagger}) \vec{A}_{\alpha}(\vec{x})$$

Atom im Strahlungsfeld (Dipolnäherung)

$$\text{Hilbertraum } \mathcal{H} = \mathcal{H}_{\text{at}} \oplus \mathcal{H}_{\text{strahl}}$$

$$H = H_0 + H_1$$

$$H_0 = H_{\text{at.}} + H_{\text{strahl}} \quad (\text{ungekoppelt})$$

$$H_1 = -\frac{1}{c} \vec{A}(0) \frac{i}{\hbar} [H_{\text{at.}}, \vec{D}]$$

(Kopplung, zeitabh.)

Feldoperator

$$\vec{A}(0) = \sum_{\alpha} \sqrt{\frac{\hbar}{2\omega_{\alpha}}} (\alpha_{\alpha} \vec{A}_{\alpha}(0) + \alpha_{\alpha}^{\dagger} \vec{A}_{\alpha}(0))$$

Atom (bei $\vec{x}=0$) im quantisierten
Strahlungsfeld in Dipolnäherung

$$H = H_0 + H_1 \quad \text{auf } \mathcal{H} = \mathcal{H}_{\text{at}} \otimes \mathcal{H}_{\text{str}}$$

$$H_0 = H_{\text{at}} + H_{\text{str}} \quad (\text{ungestört})$$

$$H_1 = -\frac{1}{\epsilon} \vec{A}(0) \cdot \frac{i}{\hbar} [H_{\text{at}}, \vec{D}] \quad (\text{Kopplung})$$

• Zustände von H_{at} : $H_{\text{at}} |\varphi_i\rangle = E_i |\varphi_i\rangle$
 $(i=0, 1)$

• Übergänge zwischen Eigenzuständen
von H_0 : Von

$$|\varphi_0\rangle = |\varphi_0\rangle \otimes |n_1, n_2, \dots\rangle$$

noch

$$|\varphi_1\rangle = |\varphi_1\rangle \otimes |n'_1, n'_2, \dots\rangle$$

Energien $H_0 |\varphi_i\rangle = E_i |\varphi_i\rangle$

$$E_0 = \epsilon_0 + \sum_{\alpha} \hbar \omega_{\alpha} n_{\alpha}$$

$$E_1 = \epsilon_1 + \sum_{\alpha} \hbar \omega_{\alpha} n'_{\alpha}$$

• V gross : E_1 liegt im Quasi-Kontinuum von Eigenwerten

Anfangszustand in $\mathcal{H}_{\text{at}} \oplus \mathcal{H}_{\text{Strahlung}}$

$$|\psi_0\rangle = |\varphi_0\rangle \oplus |n_1, n_2, \dots\rangle$$

mit $\mathcal{H}_{\text{at}} |\varphi_0\rangle = E_0 |\varphi_0\rangle$,

• Strahlung polarisiert in RHP. \vec{e} :

$n_\beta = 0$ für $\beta = (\vec{k}, \vec{e}')$ mit $\vec{e}' \neq \vec{e}$
und mit spektraler Dichte $u(\omega)$

$$\hbar \omega_\beta n_\beta \frac{1}{V} \frac{dN}{d\omega} = u(\omega) \quad (V \text{ gross})$$

$$\omega_\beta \in [\omega, \omega + d\omega]$$

$$dN = \# \{ \text{Moden } (\vec{k}, \vec{e}) \text{ mit Freq. in } d\omega \}$$

Energie von $|\psi_0\rangle$

$$\mathcal{H}_0 |\psi_0\rangle = E_0 |\psi_0\rangle$$

$$E_0 = E_0 + \sum_{\alpha} \hbar \omega_{\alpha} n_{\alpha}$$

Nachtrag: Bei unpolarisierter, von allen Richtungen einfallender Strahlung ist

$$P = u(\omega_{10}) \cdot \frac{4\pi}{h^2} \frac{1}{3} |\langle \psi_1 | \vec{D} | \psi_0 \rangle|^2$$

wobei $|\vec{d}|^2 = \vec{d} \cdot \vec{d}$.

Denn: Fortpflanzungsrichtung \vec{e}_0
 Polarisationen \vec{e}_1, \vec{e}_2 } $\vec{e}_0, \vec{e}_1, \vec{e}_2$
 Dreibein

$$\underbrace{\frac{1}{4\pi} \int d\vec{e}_0}_{\text{Mittelung über } \vec{e}_0} \quad \underbrace{\frac{1}{2} \sum_{i=1}^2 |\vec{d} \cdot \vec{e}_i|^2}_{\text{Mittelung über Polarisationen}}$$

$$= \frac{1}{4\pi} \int d\vec{e}_0 \quad \frac{1}{2} (|\vec{d}|^2 - |\vec{d} \cdot \vec{e}_0|^2)$$

$$= \frac{1}{4\pi} \int d\vec{e}_0 \quad \frac{1}{2} \left(|\vec{d}|^2 - \frac{1}{3} |\vec{d}|^2 \right) = \frac{1}{3} |\vec{d}|^2$$

Äusseres, klassisches elektro-
magnetisches Feld der Polarisation
 \vec{e} mit spektraler Energiedichte $u(\omega)$
bewirkt atomare Übergänge $0 \rightarrow 1$
mit Rate

$$\Gamma_{1 \leftarrow 0} = u(\omega_{10}) \cdot \frac{4\pi^2}{\hbar^2} |\langle \psi_1 | \vec{D} \cdot \vec{e} | \psi_0 \rangle|^2$$

(Absorption)

$$\Gamma_{1 \leftarrow 0} = u(\omega_{01}) \cdot \frac{4\pi^2}{\hbar^2} |\langle \psi_1 | \vec{D} \cdot \vec{e} | \psi_0 \rangle|^2$$

(Emission)

Atom im quantisierten Strahlungsfeld:

Übergänge $0 \rightarrow 1$ mit Photonen:

• Absorption

$$P_{1 \leftarrow 0} = \frac{4\pi^2}{\hbar^2} u(\omega_{10}) \cdot \frac{1}{3} |\langle \varphi_1 | \vec{D} | \varphi_0 \rangle|^2$$

• Emission

$$P_{1 \leftarrow 0} = \frac{4\pi^2}{\hbar^2} \left(u(\omega_{01}) + \frac{\hbar \omega_{01}^3}{\pi^2 c^3} \right) \cdot \frac{1}{3} |\langle \varphi_1 | \vec{D} | \varphi_0 \rangle|^2$$

spontane Emission

Zum Vergleich (Einstein): A, B-Koeffizienten

• Absorption

$$P_{1 \leftarrow 0} = B_{01} u(\omega_{10})$$

• Emission

$$P_{0 \leftarrow 1} = B_{10} u(\omega_{10}) + A_{10}$$

mit $B_{01} = B_{10}$, $\frac{A_{10}}{B_{10}} = \frac{\hbar \omega_{10}^3}{\pi^2 c^3}$ ✓!

Identische Teilchen : $1, 2, \dots, N$

- keine Observablen Teilchen i von j unterscheiden

$$\rightarrow [A, P_\sigma] = 0 \quad (\sigma \in S_N)$$

- $\rightarrow |\psi\rangle$ und $P_\sigma |\psi\rangle$ sind ununterscheidbare Zustände, da keine Observablen sie unterscheiden kann.

- Postulat: Also soll

$$P_\sigma |\psi\rangle = \chi(\sigma) |\psi\rangle$$

für eine Phase $\chi(\sigma)$ ($|\chi(\sigma)| = 1$)

- Es folgt:

$$\chi(\sigma) = 1 \quad \text{oder} \quad \chi(\sigma) = \text{sgn } \sigma$$

1-dimensionale Darstellungen der S_N

Sei $\chi: S_N \rightarrow \mathbb{C}$, $\chi(\sigma\sigma) = \chi(\sigma)\chi(\sigma)$

mit $\chi \neq 0$. Dann ist entweder

$$\chi(\sigma) \equiv 1$$

oder

$$\chi(\sigma) \equiv \text{sgn } \sigma$$

\mathcal{H} : 1-Teilchen - Hilbertraum

(Bsp: $\mathcal{H} = L^2(\mathbb{R}^3) \otimes \mathbb{C}^{2j+1}$: Spin; Teilchen
 $\psi = \psi(\vec{z}), \vec{z} = (\vec{x}, 1)$

Auf

$$\bigotimes^N \mathcal{H} = \underbrace{\mathcal{H} \otimes \dots \otimes \mathcal{H}}_{N \text{ Faktoren}}$$

N Faktoren

wirkt die Permutationsgruppe $S_N \ni \sigma$:
Darstellung

$$P_\sigma : \psi_1 \otimes \dots \otimes \psi_N \mapsto \psi_{\sigma^{-1}(1)} \otimes \dots \otimes \psi_{\sigma^{-1}(N)}$$

(Bsp:

$$(P_\sigma \psi)(\vec{z}_1, \dots, \vec{z}_N) = \psi(\vec{z}_{\sigma^{-1}(1)}, \dots, \vec{z}_{\sigma^{-1}(N)})$$

Unterräume von $\bigotimes^N \mathcal{H}$:

- Hilbertraum von N Bosonen

$$\mathcal{H}_s^{(N)} = \{ \psi \mid P_\sigma \psi = \psi \} \quad \forall \sigma \in S_N$$

(symmetrische Zustände)

- Hilbertraum von N Fermionen

$$\mathcal{H}_a^{(N)} = \{ \psi \mid P_\sigma \psi = (\text{sgn } \sigma) \psi \}$$

(antisymmetrische Zustände)

- Entsprechende Unterräume von $\otimes^N \mathbb{C}^2$

$$\mathcal{H}_s^{(N)} = \{ \psi \mid P_\sigma |\psi\rangle = |\psi\rangle, \sigma \in S_N \}$$

(symmetrische Zustände)

$$\mathcal{H}_a^{(N)} = \{ \psi \mid P_\sigma |\psi\rangle = (\text{sgn } \sigma) |\psi\rangle, \sigma \in S_N \}$$

(antisymmetrische Zustände)

Spin-Statistik-Zusammenhang

Teilchen mit Spin $j \in \{0, 1, \dots\}$: Bosonen

" " " $j \in \{\frac{1}{2}, \frac{3}{2}, \dots\}$: Fermionen

Projektoren $\bigoplus^N \mathcal{H} \rightarrow \bigoplus^N \mathcal{H}$ auf $\mathcal{H}_s^{(N)}$, $\mathcal{H}_a^{(N)}$

$$P = \frac{1}{N!} \sum_{\sigma \in S_N} P_\sigma, \quad A = \frac{1}{N!} \sum_{\sigma \in S_N} (\text{sgn } \sigma) P_\sigma$$

erhalten $P = P^* = P^2, \quad A = A^* = A^2$

Unabhängige Fermionen und Bosonen

- 1 Teilchen

Hilbertraum \mathcal{H}

Hamiltonoperator h

Eigenwertproblem von h :

$$h|\varphi_\alpha\rangle = \varepsilon_\alpha |\varphi_\alpha\rangle, \quad \langle \varphi_\alpha | \varphi_\beta \rangle = \delta_{\alpha\beta}$$

($\alpha = 0, 1, 2, \dots$ Quantenzahlen;

$|\varphi_\alpha\rangle$ 1-Teilchenzustände)

$$\varepsilon_0 \leq \varepsilon_1 \leq \varepsilon_2 \leq \dots$$

- N Teilchen ohne "Statistik"

Hilbertraum $\bigoplus^N \mathcal{H}$

Hamiltonoperator (unabh. Teilchen)

$$H = \sum_k h_k = \sum_{k=1}^N \mathbb{1} \otimes \dots \otimes h \otimes \dots \otimes \mathbb{1}$$

↑
k-ter Faktor

Eigenwertproblem von H :

$$|\varphi_{\alpha_1, \dots, \alpha_N}\rangle = |\varphi_{\alpha_1}\rangle \otimes \dots \otimes |\varphi_{\alpha_N}\rangle$$

$$\text{d.h. } \varphi_{\alpha_1, \dots, \alpha_N}(\xi_1, \dots, \xi_N) = \varphi_{\alpha_1}(\xi_1) \cdot \dots \cdot \varphi_{\alpha_N}(\xi_N)$$

$$H |\psi_{\alpha_1 \dots \alpha_N}\rangle = E_{\alpha_1 \dots \alpha_N} |\psi_{\alpha_1 \dots \alpha_N}\rangle$$

mit

$$E_{\alpha_1 \dots \alpha_N} = E_{\alpha_1} + \dots + E_{\alpha_N}$$

- N Fermionen: Hilbertraum $\mathcal{H}_a^{(N)} \subset \bigoplus^N \mathcal{H}$

$$|\Psi_{\{\alpha_1, \dots, \alpha_N\}}\rangle = \frac{1}{\sqrt{N!}} \sum_{\sigma \in S_N} (\text{sgn } \sigma) |\varphi_{\alpha_{\sigma(1)}} \otimes \dots \otimes \varphi_{\alpha_{\sigma(N)}}\rangle$$

hängt (bis auf's Vorzeichen) nur von Menge $\{\alpha_1, \dots, \alpha_N\}$ ab (nicht von Reihenfolge)

$$\langle \Psi_{\{\alpha_1, \dots, \alpha_N\}} | \Psi_{\{\alpha_1, \dots, \alpha_N\}} \rangle = \begin{cases} 0 & (\alpha_i = \alpha_j \text{ für ein } i \neq j) \\ 1 & (\alpha_i \neq \alpha_j \text{ für alle } i \neq j) \end{cases}$$

- Besetzungszahlbasis

$$|n_0, n_1, \dots\rangle = |\Psi_{\{\alpha_1, \dots, \alpha_N\}}\rangle,$$

wobei $n_\alpha = \#\{j : \alpha_j = \alpha\}$ erhalten

$$n_\alpha = 0 \text{ oder } 1, \quad \sum_\alpha n_\alpha = N.$$

- $H |n_0, n_1, \dots\rangle = E |n_0, n_1, \dots\rangle$

mit $E = \sum_\alpha n_\alpha \epsilon_\alpha$

- Grundzustand: $n_0 = \dots = n_{N-1} = 1, n_N = n_{N+1} = \dots = 0$

$$E_0 = \sum_{\alpha=0}^{N-1} \epsilon_\alpha \quad (\epsilon_{N-1} : \text{Fermi-Energie})$$

- N Bosonen: Hilbertraum $\mathcal{H}_S^{(N)} \subset \bigoplus^N \mathcal{H}$

$$|\psi_{\{\alpha_1, \dots, \alpha_N\}}\rangle \equiv |n_0, n_1, \dots\rangle$$

$$= \frac{1}{\sqrt{N! n_0! n_1! \dots}} \sum_{\sigma \in S_N} |\psi_{\alpha_{\sigma^{-1}(1)}} \otimes \dots \otimes \psi_{\alpha_{\sigma^{-1}(N)}}\rangle$$

mit $n_\alpha = \#\{j \mid \alpha_j = \alpha\}$.

- $\langle \psi_{\{\alpha_1, \dots, \alpha_N\}} | \psi_{\{\alpha_1, \dots, \alpha_N\}} \rangle = 1$

- n_α erhalten

$$n_\alpha \in \mathbb{N}, \quad \sum_{\alpha} n_\alpha = N$$

- $H |n_0, n_1, \dots\rangle = E |n_0, n_1, \dots\rangle$ mit

$$E = \sum_{\alpha} n_{\alpha} E_{\alpha}$$

- Grundzustand: $n_0 = N, n_1 = n_2 = \dots = 0$

$$E_0 = N E_0$$

Grundzustand freier Fermionen im Gefäß
(Spin $\frac{1}{2}$, N Teilchen, Volumen V)

• Dichte $n = \frac{N}{V}$

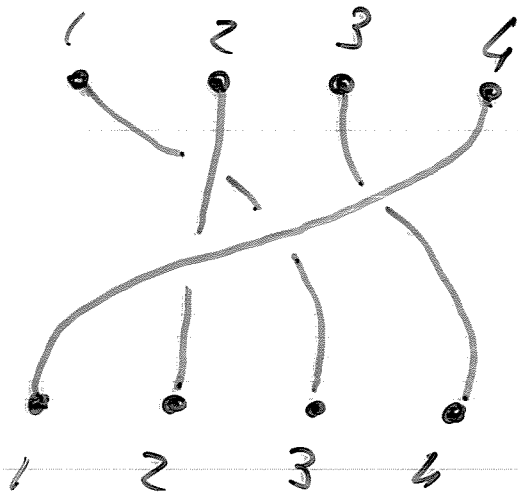
• Energie E_0

$$\frac{E_0}{V} = \frac{\hbar^2}{2m} \underbrace{(3\pi^2)^{2/3}}_{=: \gamma} \cdot \frac{3}{5} n^{5/3}$$

• Zustand: Alle 1-Teilchenzustände
mit $|\vec{k}| \leq k_F$ besetzt:

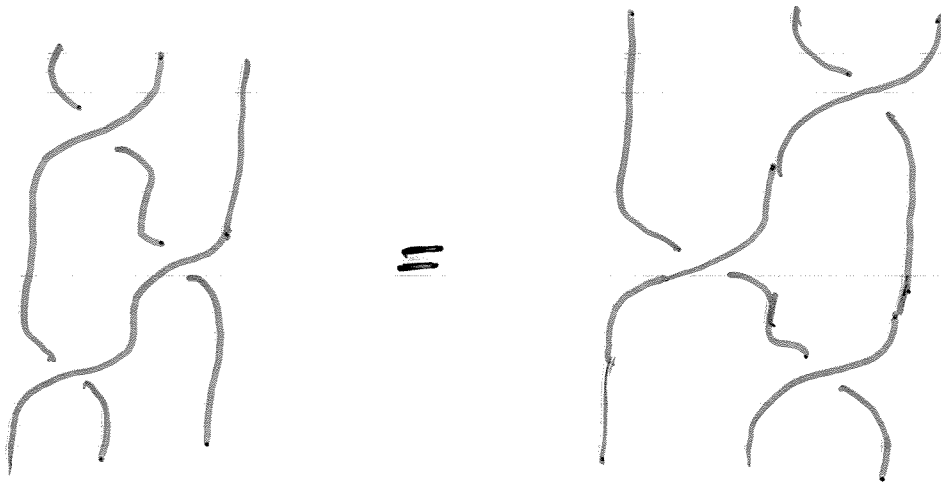
$$k_F = (3\pi^2 n)^{1/3} = \gamma^{1/2} n^{1/3}$$

Zopf b aus N Strängen. Bsp: $N=4$



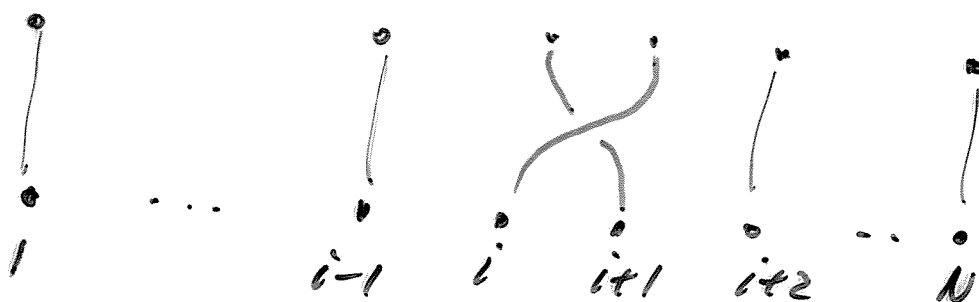
Regeln:

- Ein Strang pro $n=1, \dots, N$ (unten und oben)
- Stränge nur nach oben
- Deformationen erzeugen keine neuen Zöpfe



Eigenschaften:

- Zöpfe bilden Gruppe B_N (Zopfgruppe, Produkt b_1, b_2 : b_1 liegt über b_2
Neutralel. id : gerade Stränge
inverses El. b^{-1} : Spiegelung von b an Horizontale
- Elementare Zöpfe $b_i = [i, i+1]$ ($i=1, \dots, N-1$)



erzeugen B_N .

- 1-dim. Darstellungen der B_N :

Sei $\chi: B_N \rightarrow U(1) = \{z \in \mathbb{C} \mid |z|=1\}$ mit $\chi(b'b'') = \chi(b')\chi(b'')$. Dann gibt es $\alpha \in \mathbb{R} \bmod 2\pi$ so, dass

$$\chi(b) = e^{i\alpha} \quad (*)$$

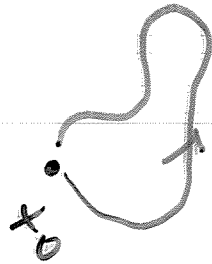
für alle elementaren Zöpfe b .

Umgekehrt ist durch (*) eine Darstellung definiert.

M (topologischer) Raum

$x_0 \in M$ ausgezeichneten Punkt

- Schleife in x_0 : Stetiger Pfad von x_0 nach x_0



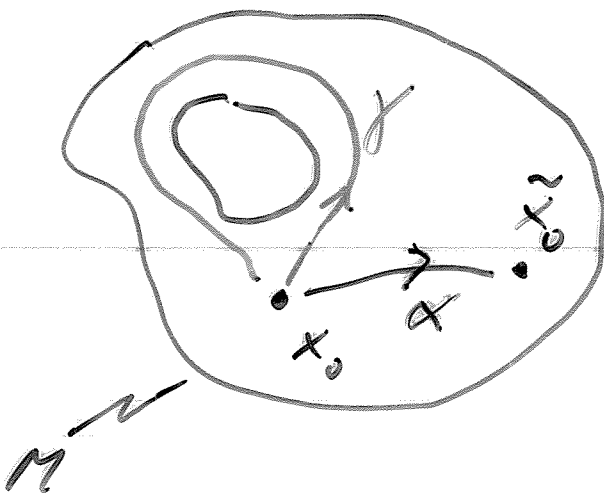
Deformationen (in M) erzeugen keine neue Schleifen

- $\pi_1(M, x_0) = \{ \gamma \mid \gamma \text{ Schleife in } x_0 \}$

ist Gruppe (Produkt = Zusammensetzung)

- Falls M zusammenhängend,

$$\pi_1(M, x_0) \cong \pi_1(M, \tilde{x}_0) \cong \pi_1(M)$$



$\alpha \gamma \alpha^{-1}$
ist Schleife in \tilde{x}_0

- $\pi_1(M)$ heißt (erste)
Homotopiegruppe

$\pi_1(M)$ trivial $\Leftrightarrow M$ einfach zusammenhängend

$x \in M_0$: Konfiguration von
 N nicht koizidenten Teilchen

$x \subset \mathbb{R}^d$: Teilmenge aus N
Elementen (ohne
Wiederholungen)

Hilbertraum N identischer Teilchen
trägt Darstellung

$$|\psi\rangle \mapsto \chi(\mathcal{G})|\psi\rangle$$

mit

$$\chi: \pi_1(M_0) \rightarrow U(1), \quad \gamma \mapsto \chi(\gamma)$$

Es gilt:

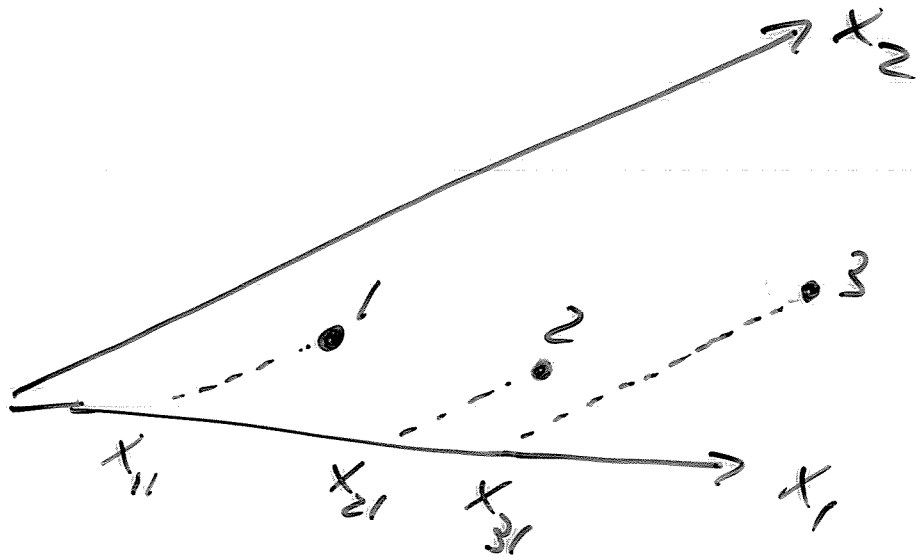
$$\pi_1(M_0) \cong B_N \quad (d=2)$$

$$\pi_1(M_0) \cong S_N \quad (d \geq 3)$$

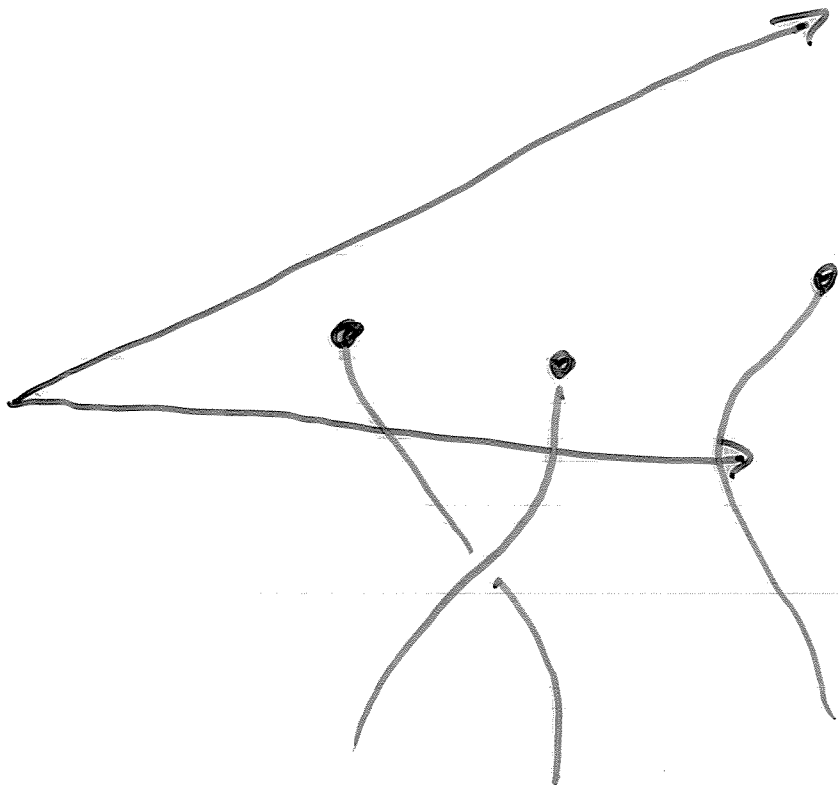
Bemerkung

$$\pi_1(M_0) \rightarrow S_N, \quad \gamma \mapsto \sigma$$

(natürlich definiert) ist (surjektiver)
Homomorphismus



γ



Projektion auf 1-Achse trotz 2-Obj

$\gamma \longmapsto b$

(Schleife) (Zopf)

ist injektiver (und surjektiver)

Homomorphismus

$\pi_1(M_0) \rightarrow B_N$

Anwendung:

Frequenzere Quanten-Hall Effekt
(2D-Systeme)

Hall-Leitfähigkeit

$$\sigma_H = \frac{e^2}{2\pi h} \cdot \nu \quad \text{mit } \nu = \frac{P}{g}$$

(P, g ganzz)

Für $\nu = \frac{1}{m}$: Anregungen über dem Grundzustand sind Quasi-Teilchen mit

$$\alpha = \frac{e}{m} \quad (\text{Anyonen})$$

Das Thomas-Fermi Atommodell (oder Ion)

(Einheiten: $\frac{\hbar^2}{2m} = 1$, $|e| = 1$)

- fester Kern bei $\vec{x} = 0$ der Ladung Z ,
- Hülle von N Elektronen, beschrieben durch Dichte $n(\vec{x})$,
- Energie der Dichte: Funktional

$$E[n] =$$

$$= \int d^3x \gamma \frac{2}{5} n(\vec{x})^{5/3} - \int d^3x \frac{Z n(\vec{x})}{|\vec{x}|} + \frac{1}{2} \int d^3x d^3y \frac{n(\vec{x}) n(\vec{y})}{|\vec{x} - \vec{y}|}$$

mit $\gamma = (3\pi^2)^{2/3}$

1. Term: kinetische Energie der Elektronen, als ob Zusammenhang $n \rightarrow E_0/V$ lokal gelten würde
2. Term: Anziehung Elektronen \leftrightarrow Kern
3. Term: Abstoßung der Elektronen (ignoriert Korrelationen)

- Gesucht: Minimierende Dichte $n(\vec{x})$ für $E[n]$ unter Nebenbedingungen

- $n(\vec{x}) \geq 0$, • $\int d^3x n(\vec{x}) = N$

- Lösung bestimmt durch

$$\delta E \equiv \frac{d}{dt} E[n + t \delta n] \Big|_{t=0^+} \geq 0$$

für alle mit den Nebenbedingungen verträglichen Variationen $\delta n(\vec{x})$:

- $\delta n(\vec{x}) \geq 0$ falls $n(\vec{x}) = 0$

- $\int d^3x \delta n(\vec{x}) = 0$

- Euler-Lagrange Gl.

$$\delta n(\vec{x})^{2/3} = (\mu - \phi(\vec{x}))_+ \quad (1)$$

(TF - Gleichung)

mit

$$\phi(\vec{x}) = -\frac{Z}{|\vec{x}|} + \int d^3y \frac{n(\vec{y})}{|\vec{x} - \vec{y}|} \quad (2)$$

(elektrisches Potential des Atoms)

(1, 2): selbstkonsistentes Gleichungspaar

- sphärisch symmetrische Lösungen
Ansatz:

$$(u - \phi(r))_+ =: \frac{Z}{r} \chi(r)$$

mit $\chi(r) \geq 0$, $\chi(0) = 1$. Dann:

$$\Delta u(r) = \frac{Z}{4\pi r} \chi''(r), \quad (r > 0, \chi > 0)$$

→ TF-Gleichung:

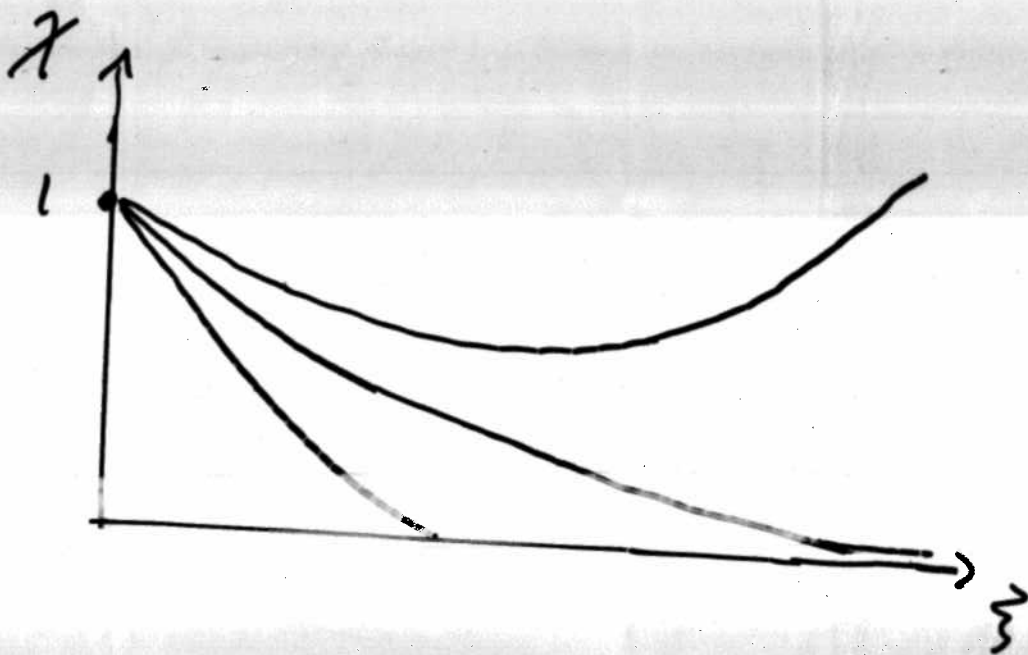
$$\chi''(r) = \frac{4}{3\pi} Z^{-1/2} r^{-1/2} \chi(r)^{3/2},$$

$$(r > 0, \chi > 0)$$

Lösungen von

$$\chi''(\xi) = \xi^{-4/2} \chi(\xi)^{3/2}$$

($\chi > 0, \xi \geq 0$) mit $\chi(0) = 1$ parametrisiert durch $\chi'(\xi)$:



Falls $\chi(\xi) = 0$ für $\xi < \infty$, so $\chi'(\xi) \neq 0$
(ansonsten $\chi \equiv 0$)

Atom-Modell ($\hbar = 2m = |e| = 1$)

$$H = \sum_{k=1}^N \left(p_k^2 - \frac{Z}{|\vec{x}_k|} \right) + \sum_{i < j} \frac{1}{|\vec{x}_i - \vec{x}_j|}$$
$$\equiv \sum_{k=1}^N h_k + \sum_{i < j} w_{ij}$$

auf $\mathcal{H}_a^{(N)} = \mathcal{A} \left(\underbrace{\bigoplus^N \mathcal{L}^2(\mathbb{R}^3, \mathbb{C}^2)} \right)$
1-Teilchen HAR \mathcal{H}

$|\psi\rangle \in \mathcal{H} : \psi(\vec{z}), \vec{z} = (\vec{x}, \sigma), \int d\vec{z} = \sum_{\sigma} \int d\vec{x}$

Quantenmechanischer Grundzustand(e)

$$E_0 = \min_{\|\psi\|=1} \langle \psi | H | \psi \rangle$$

Hartree-Fock Näherung

$$E_{HF} = \min_{\psi \in SD} \langle \psi | H | \psi \rangle$$

↑
 ψ ist Slater-Determinante

Slater-Determinante:

$$|\psi\rangle = \sqrt{N!} A |\varphi_1 \otimes \dots \otimes \varphi_N\rangle$$

mit $|\varphi_\alpha\rangle \in \mathcal{H}$, $\langle \varphi_\alpha | \varphi_\beta \rangle = \delta_{\alpha\beta}$
↳ (Orbitale)

- $|\psi\rangle$ invariant (bis auf Phase)

unter unitären Transformationen
unter den Orbitalen:

$$|\varphi'_\alpha\rangle = \sum_{\beta=1}^N U_{\alpha\beta} |\varphi_\beta\rangle, \text{ bzw.}$$

$$\varphi'_\alpha(\mathbf{z}) = \sum_{\beta} U_{\alpha\beta} \varphi_\beta(\mathbf{z})$$

→ $|\psi\rangle$ bestimmt durch N -dimensionalen Unterraum

$$M = [\varphi_1, \dots, \varphi_N] \subset \mathcal{H}$$

- Erwartungswert von H

$$\langle \psi | H | \psi \rangle = \sum_k \langle \varphi_k | h | \varphi_k \rangle +$$

$$+ \sum_{i < j} \underbrace{\langle \varphi_i \otimes \varphi_j | w | \varphi_i \otimes \varphi_j \rangle}_{\text{Direkter Term}} - \underbrace{\langle \varphi_j \otimes \varphi_i | w | \varphi_i \otimes \varphi_j \rangle}_{\text{Austausch-Term}}$$

Direkter Term

Austausch-Term

$$\rightarrow = \frac{1}{2} \sum_{i \neq j} = \frac{1}{2} \sum_{i,j}$$

Hartree-Fock Gleichungen

$$h_{HF} |\varphi_\alpha\rangle = \varepsilon_\alpha |\varphi_\alpha\rangle \quad (\alpha = 1, \dots, N)$$

Bzw.

$$\left(\vec{p}_1^2 - \frac{Z}{|\vec{x}_1|} \right) \varphi_\alpha(\vec{z}_1)$$

$$+ \sum_B \int d\vec{z}_2 \overline{\varphi_B(\vec{z}_2)} \frac{1}{|\vec{x}_1 - \vec{x}_2|} (\varphi_\alpha(\vec{z}_1) \varphi_B(\vec{z}_2) - \varphi_B(\vec{z}_1) \varphi_\alpha(\vec{z}_2))$$

$$= \varepsilon_\alpha \varphi_\alpha(\vec{z}_1)$$

Bestimmen die Orbitale $|\varphi_\alpha\rangle$, damit Slater-Determinante

$$|\Psi\rangle = \frac{1}{\sqrt{N!}} |\varphi_1 \otimes \dots \otimes \varphi_N\rangle$$

ein stationärer Punkt der Energie

$$\langle \Psi | H | \Psi \rangle$$

ist. Insbesondere wenn $|\Psi\rangle$ Minimierer von

$$E_{HF} = \min_{|\Psi\rangle \in S} \langle \Psi | H | \Psi \rangle$$

ist.

Energien des GZ in Ry

einfacher
Variations-
↓ ansatz
 E_{QMI}

Atom E_{HF} E_0 (exakt)

He -5.724 -5.808 -5.685

Be -29.146 -29.334

Ne -257.1 -257.86

Atom-Modell (N Elektronen, $N=Z$)

$$H = \sum_{k=1}^N \left(\vec{p}_k^2 - \frac{Z}{|\vec{x}_k|} \right) + \sum_{i < j} \frac{1}{|\vec{x}_i - \vec{x}_j|}$$

auf $\mathcal{H}_a^{(N)}$. Eigenräume tragen (in der Regel irreduzible) Darstellungen der $SO(3) \times SU(2)$, notiert $\mathcal{D}_L \otimes \mathcal{D}_S$. Welche, zumindest für den Grundzustand?

• Vorerst: Schalenmodell

$$H_{SM} = \sum_{k=1}^N \left(\vec{p}_k^2 + \phi(r_k) \right) \quad (r_k = |\vec{x}_k|)$$

Beschreibt unabhängige e^- im Zentralpotential $\phi(r)$: Summarische Beschr. der WW eines e^- mit $N-1$ Restlichen & Kern. Für $h = \vec{p}^2 + \phi(r)$:

Schalen: $n\ell$

$\ell = 0, 1, 2, \dots$ (auch: s, p, d, ...)

$n = \ell + 1, \ell + 2, \dots$

Entartung: $2(2\ell + 1)$

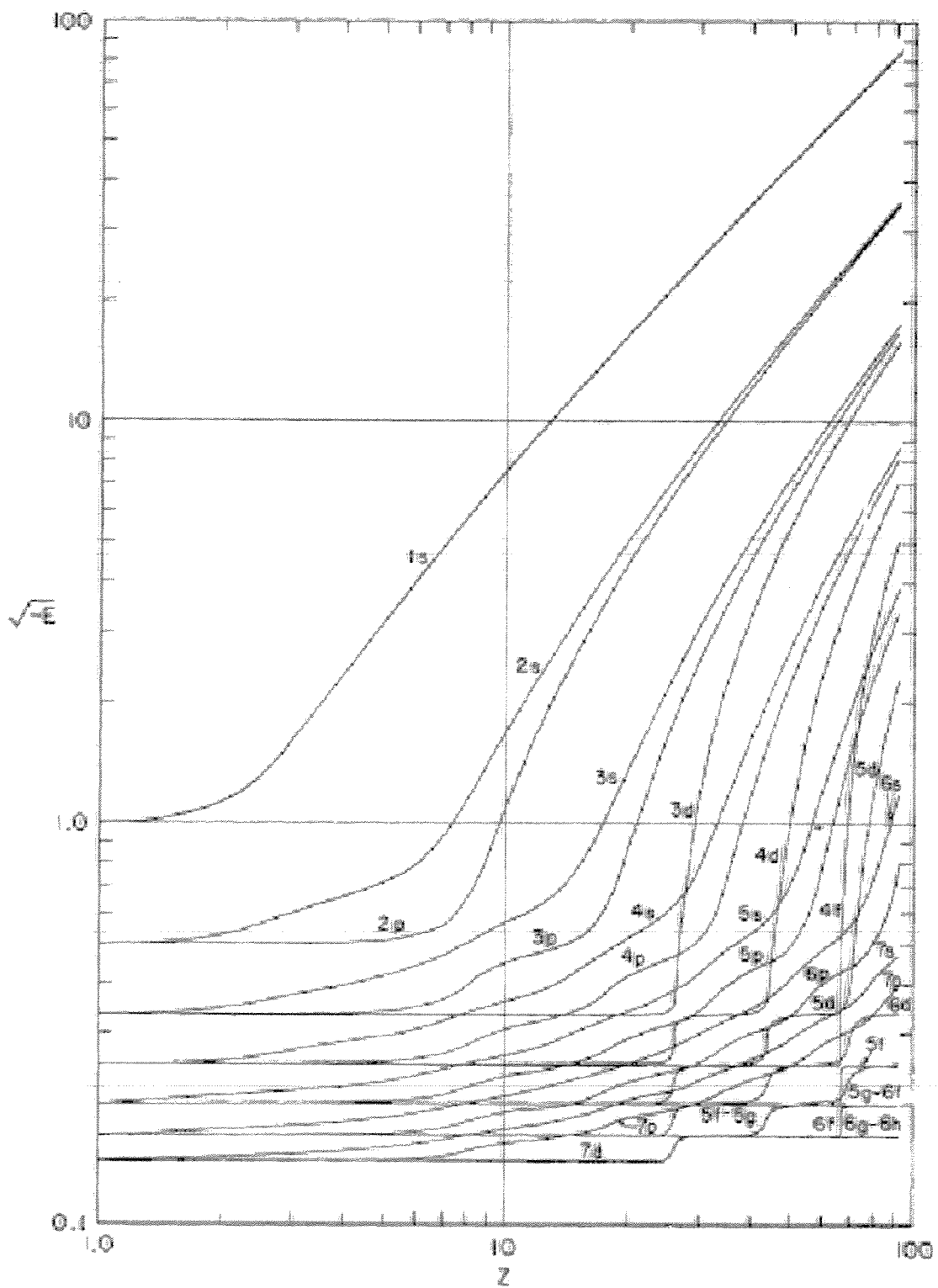


FIG. 7. The square root of the term values of Table I for the Thomas-Fermi atom is shown as a function of Z .

Mit wachsendem $N=Z$, Schalen
substantive gefüllt gemäßs Mode-
lung-Regel. \rightarrow Konfigurationen

Bsp. $Z=6$ (Kohlenstoff C)

Konfig. des GZ: $(1s)^2 (2s)^2 (2p)^2$
geschloss. offene
Schale

Entartung

$$\binom{6}{2} = 15$$

(Ent. von $2p$: 6 ; $\#e^-$: 2)

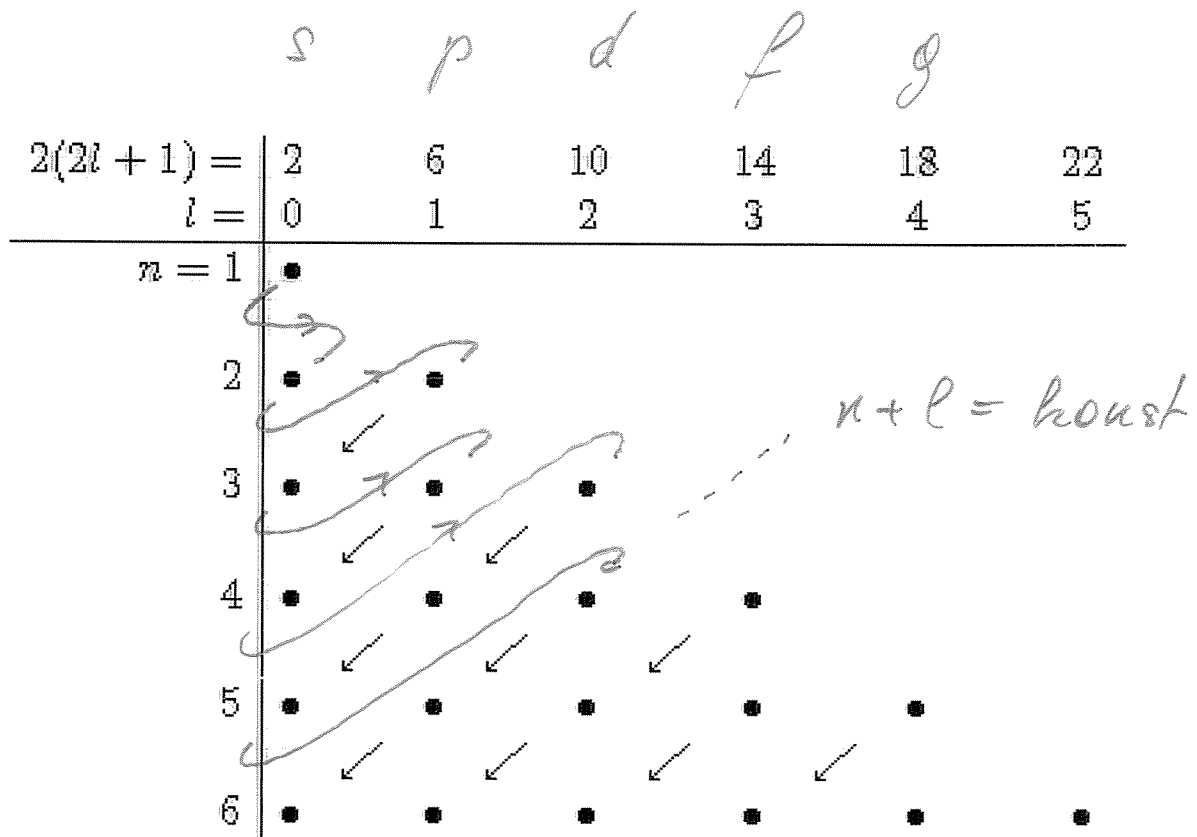
Bsp. $Z=7$ (Stickstoff N)

$$(1s)^2 (2s)^2 (2p)^3$$

Entartung

$$\binom{6}{3} = 20$$

Beachte: Konfig. tragen in der Regel
eine reduzible Darstellung der $SO(3) \times SU(2)$



17. 2020/2021

Schale	# Zustände	# Zustände (kumulativ)	Schalennummer
1s	2	2	1
2s	2	4	2
2p	6	10	
3s	2	12	3
3p	6	18	
4s	2	20	4
3d	10	30	
4p	6	36	
5s	2	38	5

Periodensystem der Elemente

<http://www.pse-online.de>

Bestimmung mit Haut- und Nebengruppen
 U/P/K/C – Empfehlung
 Von Chemical Abstracts Service bis 1986 verwendet

Relative Atommasse A_r
 Ordnungszahl Z
 Elementsymbol
 Elektronenkonfiguration
 Oxidationszahlen (Ausgangszustand)
 Elektronegativität (Pauling)
 Erster Ionisierungsenergie (eV)

Elementsymbol:
 TC = kein stabiles Isotop bekannt
 N = gasförmig
 Br = flüssig (bei 20 °C)
 Am = fest

1 1 H 1.00794 1.00811 1.00784	2 2 He 4.002602 4.002602 4.002602																	8 8 Hg 200.59 200.59 200.59	9 9 Au 196.966569 196.966569 196.966569																																																																																
3 3 Li 6.941 6.941 6.941	4 4 Be 9.012182 9.012182 9.012182																	10 10 Ca 40.078 40.078 40.078	11 11 Sc 44.955910 44.955910 44.955910	12 12 Ti 47.88 47.88 47.88	13 13 V 50.9415 50.9415 50.9415	14 14 Cr 51.9961 51.9961 51.9961	15 15 Mn 54.938044 54.938044 54.938044	16 16 Fe 55.845 55.845 55.845	17 17 Co 58.93320 58.93320 58.93320	18 18 Ni 58.6934 58.6934 58.6934	19 19 Cu 63.546 63.546 63.546	20 20 Zn 65.39 65.39 65.39	21 21 Ga 69.723 69.723 69.723	22 22 Ge 72.61 72.61 72.61	23 23 As 74.92160 74.92160 74.92160	24 24 Se 78.96 78.96 78.96	25 25 Br 79.904 79.904 79.904	26 26 Kr 83.80 83.80 83.80	27 27 Rb 85.4678 85.4678 85.4678	28 28 Sr 87.62 87.62 87.62	29 29 Y 88.90585 88.90585 88.90585	30 30 Zr 91.224 91.224 91.224	31 31 Nb 92.90638 92.90638 92.90638	32 32 Mo 95.94 95.94 95.94	33 33 Tc 98.90625 98.90625 98.90625	34 34 Ru 101.07 101.07 101.07	35 35 Rh 102.90550 102.90550 102.90550	36 36 Pd 106.42 106.42 106.42	37 37 Ag 107.8682 107.8682 107.8682	38 38 Cd 112.411 112.411 112.411	39 39 In 114.818 114.818 114.818	40 40 Sn 118.710 118.710 118.710	41 41 Sb 121.760 121.760 121.760	42 42 Te 127.60 127.60 127.60	43 43 I 126.90447 126.90447 126.90447	44 44 Xe 131.29 131.29 131.29	45 45 Ba 137.327 137.327 137.327	46 46 La 138.90545 138.90545 138.90545	47 47 Ce 140.12 140.12 140.12	48 48 Pr 140.90765 140.90765 140.90765	49 49 Nd 144.24 144.24 144.24	50 50 Pm 144.91264 144.91264 144.91264	51 51 Sm 150.36 150.36 150.36	52 52 Eu 151.964 151.964 151.964	53 53 Gd 157.25 157.25 157.25	54 54 Tb 158.92534 158.92534 158.92534	55 55 Dy 162.50 162.50 162.50	56 56 Ho 164.93032 164.93032 164.93032	57 57 Er 167.26 167.26 167.26	58 58 Tm 168.93421 168.93421 168.93421	59 59 Yb 173.04 173.04 173.04	60 60 Lu 174.967 174.967 174.967	61 61 Fr 223 223 223	62 62 Ra 226 226 226	63 63 Ac 227 227 227	64 64 Th 232.0377 232.0377 232.0377	65 65 Pa 231.03688 231.03688 231.03688	66 66 U 238.02891 238.02891 238.02891	67 67 Np 237.04817 237.04817 237.04817	68 68 Pu 239.05216 239.05216 239.05216	69 69 Am 243.06138 243.06138 243.06138	70 70 Cm 247.07125 247.07125 247.07125	71 71 Bk 247.07125 247.07125 247.07125	72 72 Cf 251.0825 251.0825 251.0825	73 73 Es 252.0833 252.0833 252.0833	74 74 Fm 257.1037 257.1037 257.1037	75 75 Md 258.1037 258.1037 258.1037	76 76 No 259.1037 259.1037 259.1037	77 77 Lr 262.1037 262.1037 262.1037	78 78 Rf 261.1037 261.1037 261.1037	79 79 Db 262.1037 262.1037 262.1037	80 80 Sg 263.1037 263.1037 263.1037	81 81 Bh 264.1037 264.1037 264.1037	82 82 Hs 265.1037 265.1037 265.1037	83 83 Mt 266.1037 266.1037 266.1037	84 84 Ds 268.1037 268.1037 268.1037	85 85 Rg 269.1037 269.1037 269.1037	86 86 Cn 270.1037 270.1037 270.1037	87 87 Nh 271.1037 271.1037 271.1037	88 88 Fl 272.1037 272.1037 272.1037	89 89 Lv 273.1037 273.1037 273.1037	90 90 Ts 274.1037 274.1037 274.1037	91 91 Og 277.1037 277.1037 277.1037

Die Elemente mit den Ordnungszahlen 113, 115, 117 würden noch nicht synthetisiert!

• Zurück zu

$$H = H_{SM} + W$$

$$W = \underbrace{-\sum_{k=1}^N \frac{z}{|\vec{x}_k|}}_{\text{WW exakt}} + \sum_{i < j} \frac{1}{|\vec{x}_i - \vec{x}_j|} \quad - \underbrace{\sum_{k=1}^N \phi(r_k)}_{\text{WW summand}}$$

Bei $H \rightsquigarrow H_{SM}$: Entwertung der Kopplungen teilweise aufgehoben

Aufspaltung einer Konfiguration

Beispiel: offene Schale $(p)^2$, z.B. C, Si

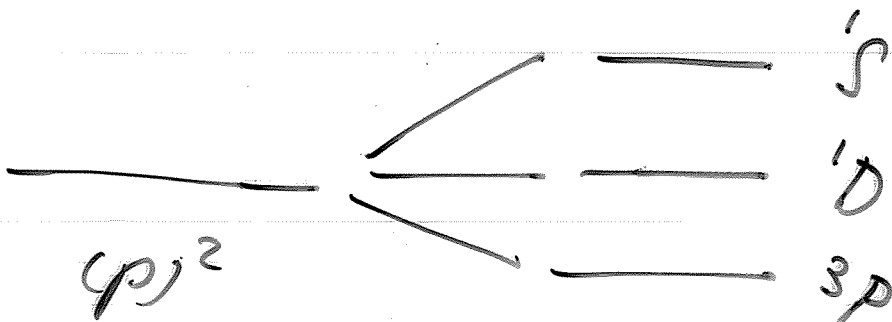
Entwertung $\binom{6}{2} = 15$

Vorkommende Darstellungen $D_L \otimes D_S$
 $(D_0 \otimes D_0) \oplus (D_1 \otimes D_1) \oplus (D_2 \otimes D_0)$

$$= {}^1S \oplus {}^3P \oplus {}^1D$$

(Notation: ${}^{2S+1}_L$)

Aufspaltung durch U



Konfiguration Multipletts

Ordnung der Multipletts \rightarrow Hund'sche Regeln.

Hund'sche Regeln

1. Das LS -Multiplet mit dem grössten S hat die kleinste Energie
2. Falls mehrere L mit dem gleichen S vorkommen, hat das grösste L die kleinste Energie

Für höchstens halb gefüllte Schalen

$$N \leq \frac{1}{2} \cdot 2(2l+1) = 2l+1$$

$$\parallel S = \frac{N}{2}, \quad L = l + (l-1) + \dots + (l-N+1) \parallel$$

enthält Zustand der Symbolreihe

$$l^+ (l-1)^+ \dots (l-N+1)^+$$

Speziell: halb gefüllte Schale $N = 2l+1$:

$$L = 0$$

Ergänzung des Atommodells durch Spin-Bahn-Kopplung

$$\tilde{H} = H + H_{SB}$$

$$H_{SB} = \sum_{k=1}^N \frac{\hbar^2}{2m \cdot mc^2} \frac{1}{r_k} \frac{d\phi}{dr_k} \vec{L}_k \cdot \vec{S}_k$$

Bei $H \rightsquigarrow \tilde{H}$, Reduktion der Symmetrie:

$$(R, U) \in SO(3) \times SU(2) \rightsquigarrow (R(U), U)$$

separate Drehungen von Ort und Spin aller Elektronen.

gemeinsame Drehungen

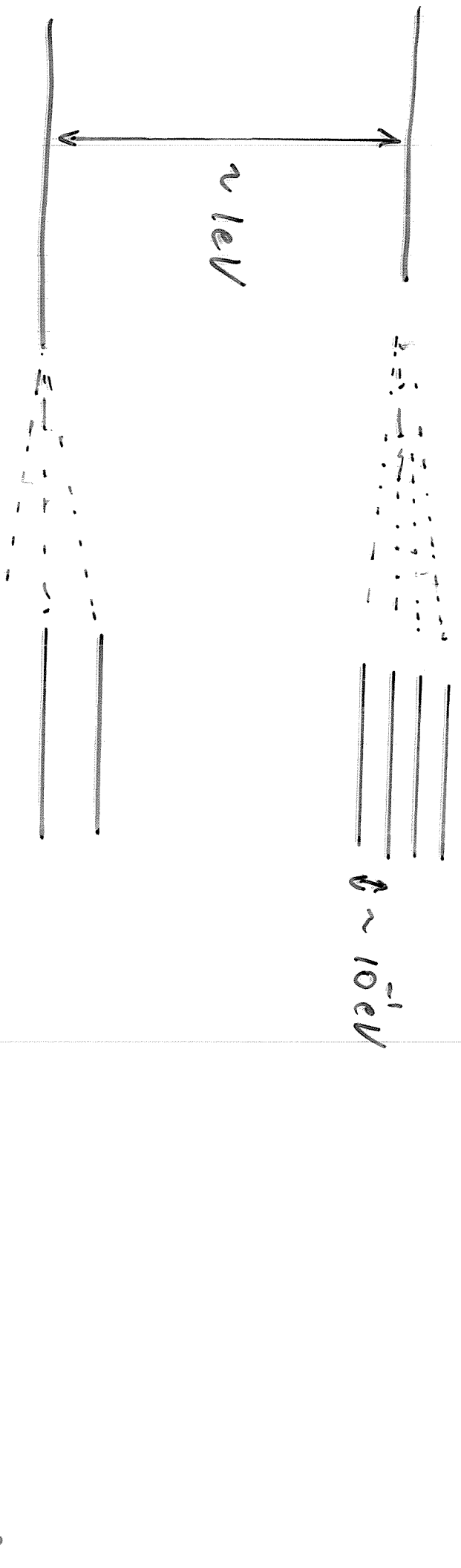
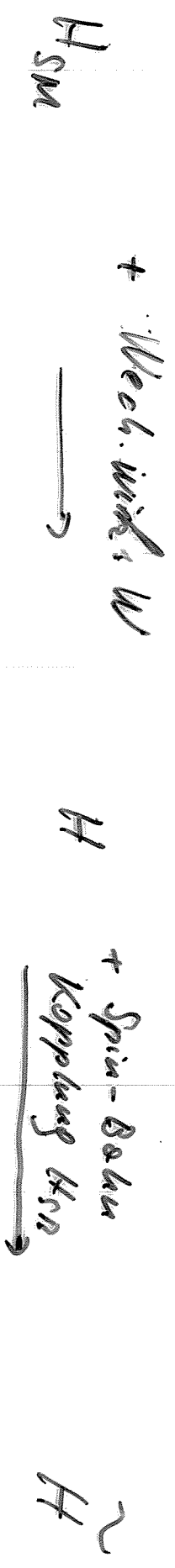
$$\vec{L}, \vec{S}$$

\rightsquigarrow

$$\vec{J} = \vec{L} + \vec{S}$$

Erhaltungsgrößen

Atom Kern, insb. Bestimmung von L, S, J im Grundzustand



Konfigurationen

L, S -Multipletts

Terme

(1)

(2)

(3)

Fock-Raum : Hilbertraum für Zustände
beliebiger, endlicher
Teilchenzahl

\mathcal{H} : 1-Teilchen-Raum

$$\mathcal{H}_{s/a}^{(n)} = \{ \psi \in \otimes^n \mathcal{H} \mid P_{\sigma} \psi = \{ \text{sgn} \sigma \} \psi \}$$

für $\begin{cases} \text{Bosonen (s)} \\ \text{Fermionen (a)} \end{cases}$

$$(\mathcal{H}_{s/a}^{(0)} = \mathbb{C}, \mathcal{H}_{s/a}^{(1)} = \mathcal{H})$$

$\mathcal{H}_{s/a}^{(n)}$: n-Teilchen-Raum

Fock-Raum :

$$\mathcal{F}_{s/a} = \bigoplus_{n=0}^{\infty} \mathcal{H}_{s/a}^{(n)}$$

Zustand $|\Psi\rangle \in \mathcal{F}$ ist Folge

$$|\Psi\rangle = \{ \psi^0, \psi^1, \psi^2, \dots \} \text{ mit } \psi^n \in \mathcal{H}_{s/a}^{(n)}$$

Wir identifizieren

$$|\psi^n\rangle \equiv \{0, 0, \dots, 0, \psi^n, 0, \dots\}$$

↑
n-ter Eintrag

Vakuum:

$$|0\rangle = \{1, 0, 0, \dots\}$$

Vertilchtungsoperator

(Sei $\mathcal{H} = L^2(\mathbb{R}^3, \mathbb{C}^2)$, $|\psi\rangle \leftrightarrow \psi(\vec{z})$, $\vec{z} = (\vec{x}, s)$)

Für $|f\rangle \in \mathcal{H}$ sei

$$a(f) : \mathcal{F}_{Sre} \rightarrow \mathcal{F}_{Sre}, \quad \Psi \mapsto a(f)\Psi$$

definiert durch

$$(a(f)\Psi)^{n-1}(\vec{z}_2, \dots, \vec{z}_n)$$

$$:= \sqrt{n} \int d\vec{z}_1 \overline{f(\vec{z}_1)} \psi^n(\vec{z}_1, \vec{z}_2, \dots, \vec{z}_n).$$

Insbesondere:

- $a(f) : \mathcal{H}_{Sre}^{(n)} \rightarrow \mathcal{H}_{Sre}^{(n-1)}$, $(n \geq 1)$

- $a(f)|0\rangle = 0$

Erzeugnisoperator $a^*(f) := (a(f))^*$

$$(a^*(f)\psi)^n(z_1, \dots, z_n) \quad (n \geq 1)$$

$$= \frac{1}{\sqrt{n}} \sum_{k=1}^n (\pm 1)^{k-1} f(z_k) \psi^{n-1}(z_1, \dots, \overset{\uparrow}{z_k}, \dots, z_n)$$

↑
Auslassung

$$(a^*(f)\psi)^0 = 0$$

Insbesondere: $a^*(f) : \mathcal{H}_{S/Q}^{(n)} \rightarrow \mathcal{H}_{S/Q}^{(n+1)}$

Kommutator (Anti)kommutator

$$[A, B]_{\mp} = AB \mp BA \quad \left\{ \begin{array}{l} \text{Bosonen} \\ \text{Fermionen} \end{array} \right.$$

Vertauschungsrelationen

$$[a(f), a(g)]_{\mp} = 0, \quad [a^*(f), a^*(g)]_{\mp} = 0$$

$$[a(f), a^*(g)]_{\mp} = \langle f, g \rangle$$

$(|f\rangle, |g\rangle) \in \mathcal{H}$ (1-Teilchenzustände)

ONBasis $|f_i\rangle$ für \mathcal{H} . Setze

$$a_i = a(f_i)$$

Basiswechsel: $|f_i\rangle \rightarrow |\tilde{f}_i\rangle$

$$\tilde{a}_i = \sum_j a_j \langle \tilde{f}_i | f_j \rangle$$

$$\tilde{a}_i^* = \sum_j a_j^* \langle f_j | \tilde{f}_i \rangle$$

Observablen in der Fock-Darstellung

- 1-Teilchenoperator b

$$d\Gamma(b) = \sum_{i=1}^n b^{(i)}$$

auf n -Teilchenzuständen ($b^{(i)}$ ist b auf i -tes Teilchen wirkend). Dann

$$d\Gamma(b) = \sum_{kl} a_k^* b_{kl} a_l$$

(k, l indizieren Vektoren der 1-Teilchenbasis)

mit $b_{kl} = \langle f_k | b | f_l \rangle$

- 2-Teilchenoperator b

$$d\Gamma(b) = \sum_{i < j} b^{(ij)} = \frac{1}{2} \sum_{i \neq j} b^{(ij)} \text{ auf } \mathcal{H}^{(n)}$$

Dann

$$d\Gamma(b) = \frac{1}{2} \sum_{k_1, k_2, l_1, l_2} a_{k_2}^* a_{k_1}^* b_{k_1 k_2, l_1 l_2} a_{l_1} a_{l_2}$$

mit

$$b_{k_1 k_2, l_1 l_2} = \langle f_{k_1} \otimes f_{k_2} | b | f_{l_1} \otimes f_{l_2} \rangle$$

Observablen in der Fock-Darstellung (Fort.)

- 1-Teilchenoperator b auf $\mathcal{H} = L^2(\mathbb{V})$
Erwartungswerte ($|\psi\rangle \in \mathcal{H}$)

$$\begin{aligned}\langle \psi | b | \psi \rangle &= \int d\vec{x} d\vec{x}' \langle \psi | \vec{x} \rangle \langle \vec{x} | b | \vec{x}' \rangle \langle \vec{x}' | \psi \rangle \\ &= \int d\vec{x} d\vec{x}' \overline{\psi(\vec{x})} b(\vec{x}, \vec{x}') \psi(\vec{x}')\end{aligned}$$

Zum Vergleich:

$$d\Gamma(b) = \int d\vec{x} d\vec{x}' \underline{\psi^*(\vec{x})} b(\vec{x}, \vec{x}') \underline{\psi(\vec{x}')}$$

„Rezept“ der 2. ten Quantisierung:

$b \rightsquigarrow d\Gamma(b)$ erhält man durch

$$\begin{array}{ccc} \psi(\vec{x}) & \rightsquigarrow & \underline{\psi(\vec{x})} \\ \uparrow & & \text{Feldoperator} \\ \text{Wellenfunktion} & & \end{array}$$

im Ausdruck für $\langle \psi | b | \psi \rangle$.

- 2-Teilchenoperator: analog, s. Beispiele

Beispiele (Abkürzung $\hat{\rho} \equiv \hat{\rho}(\vec{x})$)

1) Dichte in \vec{x}_0 : 1-Top.

$$\rho(\vec{x}_0) = \delta(\vec{x} - \vec{x}_0)$$

$$\langle \psi | \rho(\vec{x}_0) | \psi \rangle = \int d^3x |\psi(\vec{x})|^2 \delta(\vec{x} - \vec{x}_0)$$

$$= |\psi(\vec{x}_0)|^2 = \overline{\psi(\vec{x}_0)} \psi(\vec{x}_0)$$

Also:

$$\hat{\rho}(\vec{x}_0) = \Psi^*(\vec{x}_0) \Psi(\vec{x}_0).$$

2) Kinetische Energie: 1-Top

$$T = \frac{\vec{p}^2}{2m} = -\frac{\hbar^2}{2m} \Delta$$

$$\langle \psi | T | \psi \rangle = -\frac{\hbar^2}{2m} \int d^3x \overline{\psi(\vec{x})} (\Delta \psi)(\vec{x})$$

$$= \frac{\hbar^2}{2m} \int d^3x \overline{\vec{\nabla} \psi(\vec{x})} \cdot \vec{\nabla} \psi(\vec{x})$$

Also:

$$\hat{T} = \frac{\hbar^2}{2m} \int d^3x \overline{\vec{\nabla} \psi(\vec{x})} \cdot \vec{\nabla} \psi(\vec{x})$$

3) Paarwechselwirkung: 2-T. op.

$$W(\vec{x}-\vec{y})$$

$$\langle \psi | W | \psi \rangle = \int d^3x d^3y \overline{\psi(\vec{x}, y)} W(\vec{x}-\vec{y}) \psi(\vec{x}, y)$$

Also

$$\hat{W} = \frac{1}{2} \int d^3x d^3y \psi^*(\vec{y}) \psi^*(\vec{x}) W(\vec{x}-\vec{y}) \psi(\vec{x}) \psi(\vec{y})$$

Anwendung: Der Vielteilchen-Hamiltonoperator

$$H = \sum_{i=1}^n \left(\frac{\vec{p}_i^2}{2m} + V(\vec{x}_i) \right) + \sum_{i < j}^n W(\vec{x}_i - \vec{x}_j)$$

ist auch

$$H = \int d^3x \left(\frac{\hbar^2}{2m} \vec{\nabla} \psi^*(\vec{x}) \cdot \vec{\nabla} \psi(\vec{x}) + \psi^*(\vec{x}) V(\vec{x}) \psi(\vec{x}) \right) \\ + \frac{1}{2} \int d^3x d^3y \psi^*(\vec{y}) \psi^*(\vec{x}) W(\vec{x}-\vec{y}) \psi(\vec{x}) \psi(\vec{y})$$

Freie Teilchen im Quantisierungsvolumen $[0, L]^3$, ($V=L^3$):

- 1-Teilchenzustände (Basis) $|\varphi_{\vec{k}, s}\rangle$

$$\langle \vec{x}, s | \varphi_{\vec{k}, s} \rangle = \delta_{ss'} \frac{1}{\sqrt{V}} e^{i\vec{k} \cdot \vec{x}} \quad (\vec{k} \in \frac{2\pi}{L} \mathbb{Z}^3, s=\pm)$$

- Zweite Quantisierung

$$\text{Basis } |\varphi_{\vec{k}, s}\rangle \rightarrow a_{\vec{k}, s}$$

$$\text{Basis } |\zeta\rangle = |\vec{x}, s\rangle \rightarrow \Psi(\zeta)$$

$$\Psi(\vec{x}, s) = \frac{1}{\sqrt{V}} \sum_{\vec{k}} e^{i\vec{k} \cdot \vec{x}} a_{\vec{k}, s}$$

"Feldoperator"

Any serious consideration of a physical theory must take into account the distinction between the objective reality, which is independent of any theory, and the physical concepts with which the theory operates. These concepts are intended to correspond with the objective reality, and by means of these concepts we picture this reality ourselves.

(Einstein, Podolsky, Rosen)

Die Arbeit von Einstein, Podolsky, Rosen:

- Hinreichendes Kriterium für ein Element

(i) physikalischer Wirklichkeit:

" Falls wir, ohne das System in irgend einer Art zu stören, mit Sicherheit (d.h. mit W'keit gleich Eins) den Wert einer physikalischen Grösse voraussagen können, dann existiert ein Element physikalischer Wirklichkeit, das dieser physikalischen Grösse entspricht "

- Notwendiges Kriterium, damit eine Theorie

(ii) vollständig ist:

" Jedes Element physikalischer Wirklichkeit muss ein Gegenstück in der physikalischen Theorie haben "

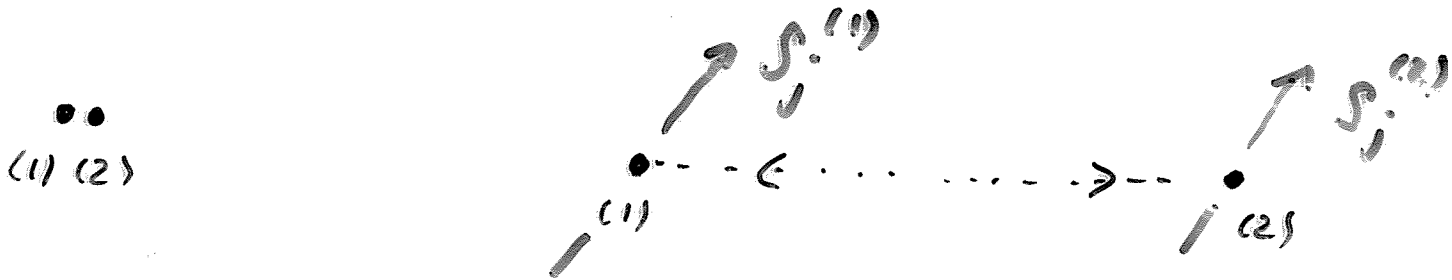
- Schlussfolgerung:

" Wir haben gezeigt, dass die Wellenfunktion keine vollständige Beschreibung der physikalischen Wirklichkeit liefert; wir haben die Frage offen gelassen, ob eine solche Beschreibung existiert. Wir glauben aber, dass eine solche Theorie möglich ist. "

EPR Anordnung (nach Bohm) : Zwei Spin $\frac{1}{2}$ Teilchen :

vorher

nachher



(z.B. Zerfall $\pi \rightarrow e^- e^+$)

Spinzustand

$$\begin{aligned}
 |\psi\rangle &\equiv |0,0\rangle = \frac{1}{\sqrt{2}} (|\vec{e}_1, -\vec{e}_1\rangle - |-\vec{e}_1, \vec{e}_1\rangle) \\
 &= \frac{1}{\sqrt{2}} (|\vec{e}_2, -\vec{e}_2\rangle - |-\vec{e}_2, \vec{e}_2\rangle) \\
 &= \frac{1}{\sqrt{2}} (|\vec{e}_3, -\vec{e}_3\rangle - |-\vec{e}_3, \vec{e}_3\rangle)
 \end{aligned}$$

Die Messungen* von $S_j^{(1)}$ und $S_j^{(2)}$ ergibt

$$(S_j^{(1)}, S_j^{(2)}) = \left(\frac{\hbar}{2}, -\frac{\hbar}{2}\right) \quad \text{mit W'keit } \frac{1}{2}$$

$$(S_j^{(1)}, S_j^{(2)}) = \left(-\frac{\hbar}{2}, \frac{\hbar}{2}\right) \quad \text{" } \frac{1}{2}$$

* raumartig getrennte Ereignisse

Für $j=1, 2$ oder 3 könnte $S_j^{(1)}$ bestimmt werden durch Messung von $S_j^{(2)}$ ($\rightarrow S_j^{(1)} = -S_j^{(2)}$), also ohne Teilchen (1) in irgend einer Art zu stören.

Nach EPR:

$S_j^{(1)}$, ($j=1, 2$ und 3) sind je ein Element phys. Wirklichkeit, das in einer vollständigen Theorie ein Gegenstück haben muss

\rightarrow Die QM ist nicht (EPR-) vollständig: Bestimmte Werte hat eine Observable in der QM nur in Eigenzuständen. Ein gemeinsamer Eigenzustand von $S_1^{(1)}, S_2^{(1)}, S_3^{(1)}$ mit Eigenwerten $\pm \hbar/2$ ist unmöglich wegen

$$[S_1^{(1)}, S_2^{(1)}] = i\hbar S_3^{(1)}$$

Bohrs Entgegnung

"es kann keine Rede sein einer mechanischen Störung des untersuchten Systems"

"da ist die Frage einer Beeinflussung der eigentlichen Bedingungen, die die möglichen Sorten von Voraussagen über das zukünftige Verhalten des Systems festlegen. Da diese Bedingungen einen inhärenten Bestandteil der Beschreibung jedes Phänomens bilden, dem der Ausdruck "physikalische Wirklichkeit" zugewiesen werden kann, sehen wir, dass die Argumentation der erwähnten Autoren ihre Schlussfolgerung, dass die quantenmechanische Beschreibung unvollständig sei, nicht gerechtfertigt."

Gibt es (im Sinne von EPR) voll-
ständige Theorien, die entweder:

(a) die QM reproduzieren?

oder

(b) von der QM abweichen,
aber durch das Experiment
bestätigt werden?

Modelle "verborgener Variablen"

- Verborgene Variablen (reine Zustände)

$$\omega \in \Omega \quad (\Omega: \text{W'keitsraum})$$

- Statistische Mischungen

$$p(\cdot): \text{W'keitsmass auf } \Omega$$

- Observablen

$$A(\omega): \text{Funktionen auf } \Omega$$

$$(A(\omega): \text{Wert von } A \text{ in } \omega)$$

→ Erwartungswerte

$$\langle A \rangle = \int A(\omega) dp(\omega)$$

Kann ein Modell verborgener Variablen die QM reproduzieren?

Auslegung (V-): Es gibt Abbildungen

$$\text{Zustände } \psi \mapsto \text{W'keitsmasse } p_\psi(\cdot)$$

$$\text{Observablen } A=A^* \mapsto \text{Funktionen } A(\cdot)$$

sodass: Falls $A = \sum_i a_i P_i$ die Spektralzerlegung ist, so

$$\langle \psi | P_i | \psi \rangle = p_\psi(\{\omega \in \Omega \mid A(\omega) = a_i\}) \quad (1)$$

(d.h. QM und V- liefern selbe W'keiten für Messergebnisse).

Kann die QM durch eine Theorie verborgener Variablen reproduziert werden?

Auslegung $\begin{cases} V_- & (\text{schwächer}) \\ V_+ & (\text{stärker}) \end{cases}$

V_- : Es gibt einen Raum Ω ($\omega \in \Omega$ ist die verborgene Variable) und zwei Abbildungen

Zustände $\psi \mapsto$ W'heitsverteilungen $d\rho_\psi^\omega$ auf Ω

Observablen $A = A^* \mapsto$ Funktion $A(\omega)$ auf Ω
($A(\omega)$ ist Wert der Observablen in ω)

sodass genau W'keiten für Messwerte wiedergegeben werden:

Ist $A = \sum a_i P_i$ die Spektralzerlegung von A , so gilt

$$\langle \psi | P_i | \psi \rangle = \rho_\psi(\{\omega \in \Omega \mid A(\omega) = a_i\})$$

Folgerungen aus (V-):

- $A(\omega) \in \{a_1, \dots, a_n\}$ (P_ψ -fest sicher) (2)

- $\langle \psi | A | \psi \rangle = \int_{\Omega} A(\omega) dP_\psi(\omega)$ (3)

- $\langle \psi | A | \psi \rangle = a_1 \langle \psi | \psi \rangle \Rightarrow A(\omega) = a_1$
(P_ψ -fest sicher)

Antwort: Ja, V - ist möglich.

Kritik: In der QM ist der Projektor P eines Ereignisses fundamentaler als die Observable ("Kontext"), in dessen Spektralzerlegung er vorkommt

Es ist möglich:

$$P = P_i \text{ für ein } i \text{ in } A = \sum_i a_i P_i$$

und

$$P = \tilde{P}_j \text{ für ein } j \text{ in } \tilde{A} = \sum_j \tilde{a}_j \tilde{P}_j$$

$$(\text{Bsp: (Spin } \frac{1}{2}) : A = \vec{S} \cdot \vec{e}_x, \tilde{A} = \vec{S} \cdot (-\vec{e}_x).)$$

V - lässt es zu, dass

$$\{ \omega \in \mathbb{R} \mid A(\omega) = a_i \} \neq \{ \omega \in \mathbb{R} \mid \tilde{A}(\omega) = \tilde{a}_j \}$$

V_+ : Ω , $\psi \mapsto d\psi$ wie vorher.

Statt $A \mapsto A(\omega)$, neu: Abbildung

Projektoren $P = P^2 = P^*$ \mapsto Teilmengen $P \subset \Omega$
sodass

$$\langle \psi | P | \psi \rangle = P_\psi(P)$$

$$\sum_i P_i = \mathbb{1} \Rightarrow \{P_i\} \text{ ist Partition von } \Omega$$

Antwort: V_+ ist möglich, falls $\dim \mathcal{H} = 2$.
sonst:

Satz (Kochen, Specker 1967) Sei $\dim \mathcal{H} \geq 3$.
Dann ist V_+ nicht möglich.

* Nicht-Kontextualität

Folgerungen aus $V+$:

1) $V+ \Rightarrow V-$, und zwar mit

$$A(\omega) := \sum_i a_i \chi_{P_i}(\omega)$$

$$\text{für } A = \sum_i a_i P_i.$$

$$2) f(A)(\omega) = f(A(\omega))$$

$$3) \text{ Falls } [A_1, A_2] = 0$$

(und demzufolge $(A_1, A_2)^* = A_1, A_2$),

so

$$(A_1, A_2)(\omega) = A_1(\omega) A_2(\omega).$$

Alternative zu $V+$ (schwächer)

L : Lokalisierhypothese (im Rahmen von $V-$)

Sei $A = A^*$, $B = B^*$. Falls

- $[A, B] = 0$ (also $(AB)^* = AB$)
- A, B zu räumlich getrennten Messungen gehören,

dann $(AB)(\omega) = A(\omega)B(\omega)$

Satz (Bell 1964)

Die QM ist unvereinbar mit $(V-, L)$

(Bem: $V+ \Rightarrow L$)

Die Bellschen Ungleichungen

Beziehen sich nicht auf die QM
sondern auf beliebige lokale
Theorien verborgener Variablen:

- 1) Zustände \equiv W'keitsverteilungen $d\rho(\omega)$,
Observablen \equiv Funktionen $A(\omega)$
auf Zustandsraum $\Omega \ni \omega$, sodass
Erwartungswerte

$$\langle A \rangle_{\rho} = \int_{\Omega} A(\omega) d\rho(\omega).$$

- 2) Lokalität: Entsprechen A, B räum-
lich getrennten Messungen, so

$$(AB)(\omega) = A(\omega)B(\omega).$$

Bemerkung: Übereinstimmung mit QM
nicht verläuft.

Satz (CHSH Ungleichung; Clauser, Horne, Shimony, Holt, 1969).

Seien A, A' von B, B' raumartig getrennt; alle mit Werten ± 1 .

Dann:

$$|\langle AB \rangle + \langle A'B \rangle + \langle AB' \rangle - \langle A'B' \rangle| \leq 2$$

Beweis: Es ist

$$-2 \leq (A(\omega) + A'(\omega)) B(\omega) + (A(\omega) - A'(\omega)) B'(\omega) \leq 2$$

und zwar ist der Ausdruck $= \pm 2$;

denn:

$$A(\omega) = A'(\omega) \Rightarrow A(\omega) + A'(\omega) = \pm 2$$

$$A(\omega) - A'(\omega) = 0$$

$$A(\omega) = -A'(\omega) \Rightarrow A(\omega) + A'(\omega) = 0$$

$$A(\omega) - A'(\omega) = \pm 2.$$

Bildung des Erwartungswerts liefert CHSH. \square

Anwendung: • "Spin $\frac{1}{2}$ " - Teilchen,
Messung der Spin komponente

$$S_{\vec{n}} = \frac{\hbar}{2} \sigma_{\vec{n}}$$

in Richtung \vec{n} , ($|\vec{n}| = 1$).

- Teilchen 1, 2 (zu geg. Zeitpunkt)
räumlich getrennt
- Observablen

$$A = \sigma_{\vec{n}_1}^{(1)}, A' = \sigma_{\vec{n}'_1}^{(1)}, B = \sigma_{\vec{n}_2}^{(2)}, B' = \sigma_{\vec{n}'_2}^{(2)}$$

- Korrelationen

$$\mathcal{C}(\vec{n}_1, \vec{n}_2) := \langle \sigma_{\vec{n}_1}^{(1)} \sigma_{\vec{n}_2}^{(2)} \rangle$$

- CHSH:

$$|\mathcal{C}(\vec{n}_1, \vec{n}_2) + \mathcal{C}(\vec{n}'_1, \vec{n}_2) + \mathcal{C}(\vec{n}_1, \vec{n}'_2) - \mathcal{C}(\vec{n}'_1, \vec{n}'_2)|$$

$$\leq 2.$$

Korrelationen quantenmechanisch
berechnet:

$$\sigma_{\vec{n}}^{(i)} = \vec{\sigma}^{(i)} \cdot \vec{n}$$

mit $\vec{\sigma} = (\sigma_1, \sigma_2, \sigma_3)$ Pauli-Matrizen

Zustand: EPR-Paar

$$|\psi\rangle = \frac{1}{\sqrt{2}} (|\vec{n}_1, -\vec{n}_2\rangle - |-\vec{n}_1, \vec{n}_2\rangle)$$

(unabhängig von \vec{n}). Es gilt:

$$(\vec{\sigma}^{(1)} + \vec{\sigma}^{(2)}) \cdot \vec{n} |\psi\rangle = 0, \quad \langle \psi | \vec{\sigma}^{(1)} \cdot \vec{n} | \psi \rangle = 0$$

Also:

$$\underline{\mathcal{C}(\vec{n}_1, \vec{n}_2)} = \langle \psi | (\vec{\sigma}^{(1)} \cdot \vec{n}_1) (\vec{\sigma}^{(2)} \cdot \vec{n}_2) | \psi \rangle$$

$$= - \langle \psi | \underbrace{(\vec{\sigma}^{(1)} \cdot \vec{n}_1) (\vec{\sigma}^{(2)} \cdot \vec{n}_2)} | \psi \rangle = - \underline{\vec{n}_1 \cdot \vec{n}_2}$$

$$(\vec{n}_1 \cdot \vec{n}_2) [1 + i \vec{\sigma}^{(1)} \cdot (\vec{n}_1 \wedge \vec{n}_2)]$$

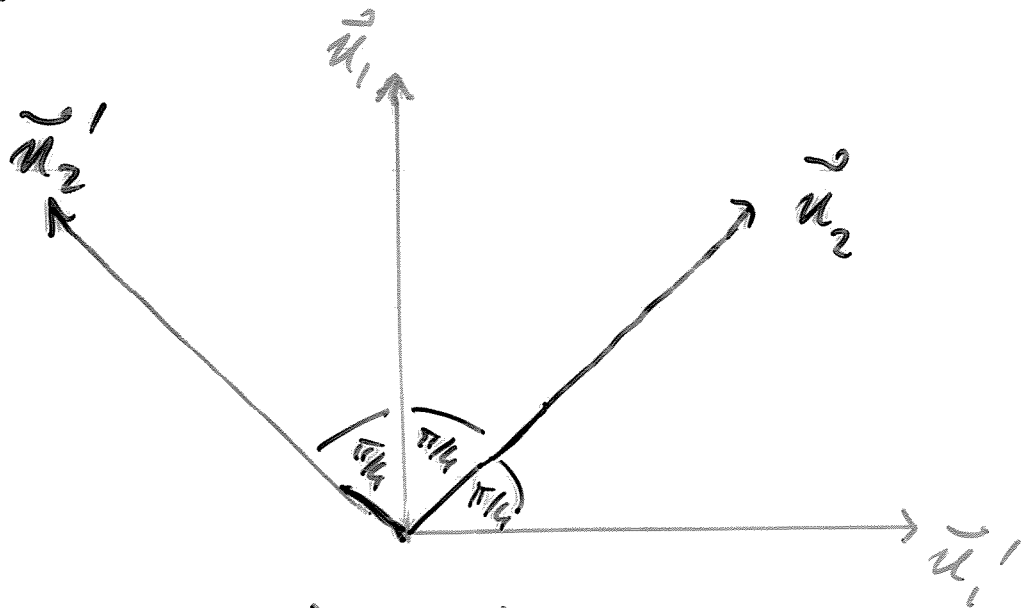
Erhält QM die CSH-Vergleichung?

D.h. gilt

$$|\vec{u}_1 \cdot \vec{u}_2 + \vec{u}_1' \cdot \vec{u}_2 + \vec{u}_1 \cdot \vec{u}_2' - \vec{u}_1' \cdot \vec{u}_2'| \leq 2 \quad (*)$$

für alle \vec{u}_i, \vec{u}_i' mit $|\vec{u}_i| = |\vec{u}_i'| = 1$?

Antwort: Nein:



$$\vec{u}_1 \cdot \vec{u}_2 = \vec{u}_1' \cdot \vec{u}_2 = \vec{u}_1 \cdot \vec{u}_2' = \cos \frac{\pi}{4} = \frac{\sqrt{2}}{2}$$

$$\vec{u}_1' \cdot \vec{u}_2' = \cos \frac{3\pi}{4} = -\frac{\sqrt{2}}{2}$$

und (*) verlangt

$$2\sqrt{2} \leq 2 \quad : \text{Nein.}$$

→ (nochmals)

QM kann nicht durch eine lokale
Theorie verborgener Variablen
reproduziert werden:

Alice

(1)



Bob

(2)



je ein Teilchen eines EPR-Paars

$$|\psi\rangle = \frac{1}{\sqrt{2}} (|e_3, -e_3\rangle - |-e_3, e_3\rangle)$$

Aufgabe:

A übermittelt unbekanntes Zustand $|\varphi\rangle$ eines (weiteren) Teilchens (0) an B, unter blosser Verwendung klassischer Information

Unmöglich?

- Transport des Teilchens (0) und damit von $|\varphi\rangle$: qu Information
- A kann $|\varphi\rangle$ nicht messen, sondern nur (z.B.) ob Teilchen $|+e\rangle$ oder $|-e\rangle$ ist.

- Zustand aller drei Teilchen

$$|\psi\rangle \otimes |\psi\rangle = \frac{1}{\sqrt{2}} (|\psi, \vec{e}_3\rangle \otimes |-\vec{e}_3\rangle - |\psi, -\vec{e}_3\rangle \otimes |\vec{e}_3\rangle)$$

- Messung von $\mathbb{1} = \sum_{i=1}^4 P_i$ mit

$$|\chi_1\rangle = \frac{1}{\sqrt{2}} (|\vec{e}_3, -\vec{e}_3\rangle - |-\vec{e}_3, \vec{e}_3\rangle)$$

$$|\chi_2\rangle = \frac{1}{\sqrt{2}} (|\vec{e}_3, -\vec{e}_3\rangle + |-\vec{e}_3, \vec{e}_3\rangle)$$

$$|\chi_3\rangle = \frac{1}{\sqrt{2}} (|\vec{e}_3, \vec{e}_3\rangle - |-\vec{e}_3, -\vec{e}_3\rangle)$$

$$|\chi_4\rangle = \frac{1}{\sqrt{2}} (|\vec{e}_3, \vec{e}_3\rangle + |-\vec{e}_3, -\vec{e}_3\rangle)$$

- Zst. der Teilchen nach Messung

$$P_1 |\psi\rangle \otimes |\psi\rangle = \frac{1}{\sqrt{2}} |\chi_1\rangle \otimes (|-\vec{e}_3\rangle \langle -\vec{e}_3| \psi\rangle - |\vec{e}_3\rangle \langle \vec{e}_3| \psi\rangle)$$

$$P_2 |\psi\rangle \otimes |\psi\rangle = \frac{1}{\sqrt{2}} |\chi_2\rangle \otimes (|-\vec{e}_3\rangle \langle -\vec{e}_3| \psi\rangle - |\vec{e}_3\rangle \langle \vec{e}_3| \psi\rangle)$$

$$P_3 |\psi\rangle \otimes |\psi\rangle = \frac{1}{\sqrt{2}} |\chi_3\rangle \otimes (|-\vec{e}_3\rangle \langle \vec{e}_3| \psi\rangle + |\vec{e}_3\rangle \langle -\vec{e}_3| \psi\rangle)$$

$$P_4 |\psi\rangle \otimes |\psi\rangle = \frac{1}{\sqrt{2}} |\chi_4\rangle \otimes (|-\vec{e}_3\rangle \langle \vec{e}_3| \psi\rangle - |\vec{e}_3\rangle \langle -\vec{e}_3| \psi\rangle)$$

- Alice übermittelt Ergebnis $i=1, 2, 3, 4$ (2 klassische Bits) an Bob; dieser wendet folgende unitärer Operator auf Teilchen (2) an:

Alices Ergebnis	Bobs Operation	Zustand
1	$\mathbb{1}$	$-\lvert\varphi\rangle$
2	σ_3	$-\lvert\varphi\rangle$
3	σ_1	$\lvert\varphi\rangle$
4	σ_2	$-i\lvert\varphi\rangle$

(Operation ist unitäre Trsf.)

In allen Fällen ist der Zustand $\lvert\varphi\rangle$ wieder hergestellt! (Phase ohne Bedeutung)

5. Der Grover-Algorithmus

Problemaussage. A, B Mengen mit N Elementen, $N \gg 1$.

$$u: A \rightarrow B, a \mapsto b = u(a)$$

Bijektive Abbildung. Also u^{-1} auch.

Aufwand für

$$(i) a \xrightarrow{u} b, \quad (ii) b \xrightarrow{u^{-1}} a$$

kann verschieden sein. Bsp. Telefonbuch

$$\begin{array}{cccc} A = \{ \text{Anna, Bertha, \dots, Max, Moritz, \dots} \} & & & \\ \downarrow & \downarrow & \downarrow & \downarrow \\ B = 6381 & 4101 & 7013 & 3298 \end{array}$$

Aufwände:

$$(i) O(\log N)$$

$$(ii) O(N)$$

Frage: Ist $u^{-1}(b) = a'$? Ob ja/nein (= 1/0) ist Abbildung

$$a' \mapsto \int_{a' u^{-1}(b)} = \int_{u(b) a}$$

Aufwand ist (i), nicht (ii). [Orakel]

• Ausgezeichneten Zustand

$$|s\rangle = \frac{1}{\sqrt{N}} \sum_{a' \in A} |a'\rangle$$

$$U: \mathcal{H} \rightarrow \mathcal{H}, \quad U = 2|s\rangle\langle s| - 1$$

(Spiegelung an s)

• Algorithmus

- Initialisiere System in $|s\rangle$
(Aufwand $O(\log N)$)

- Bilde

$$|\psi\rangle = (VU)^k |s\rangle$$

$$\text{mit } k = \left\lceil \frac{\pi}{4} \sqrt{N} \right\rceil$$

- Messung: In welchem ~~Zst.~~ $|a'\rangle$ ($a' \in A$)
ist $|\psi\rangle$? Mit grosser W'keit in
 $a' = a$:

$$W = |\langle a | \psi \rangle|^2 = 1 - O\left(\frac{1}{N}\right)$$

Beachte: Messpflichtiger Aufwand ist

$$k = O(\sqrt{N}).$$

Beweis.

• Anfangszustand $|S\rangle = |\theta_0\rangle$

$$\sin \theta_0 = \frac{1}{\sqrt{N}}$$

• Iterationsschritt $|\theta\rangle \mapsto |\theta'\rangle = VU|\theta\rangle$

$$\theta' = 2\theta_0 + \theta$$

Folglich: $\theta_0, 3\theta_0, 5\theta_0, \dots, (2k+1)\theta_0, \dots$

Wenn $\theta_k = (2k+1)\theta_0 \approx \frac{\pi}{2}$?

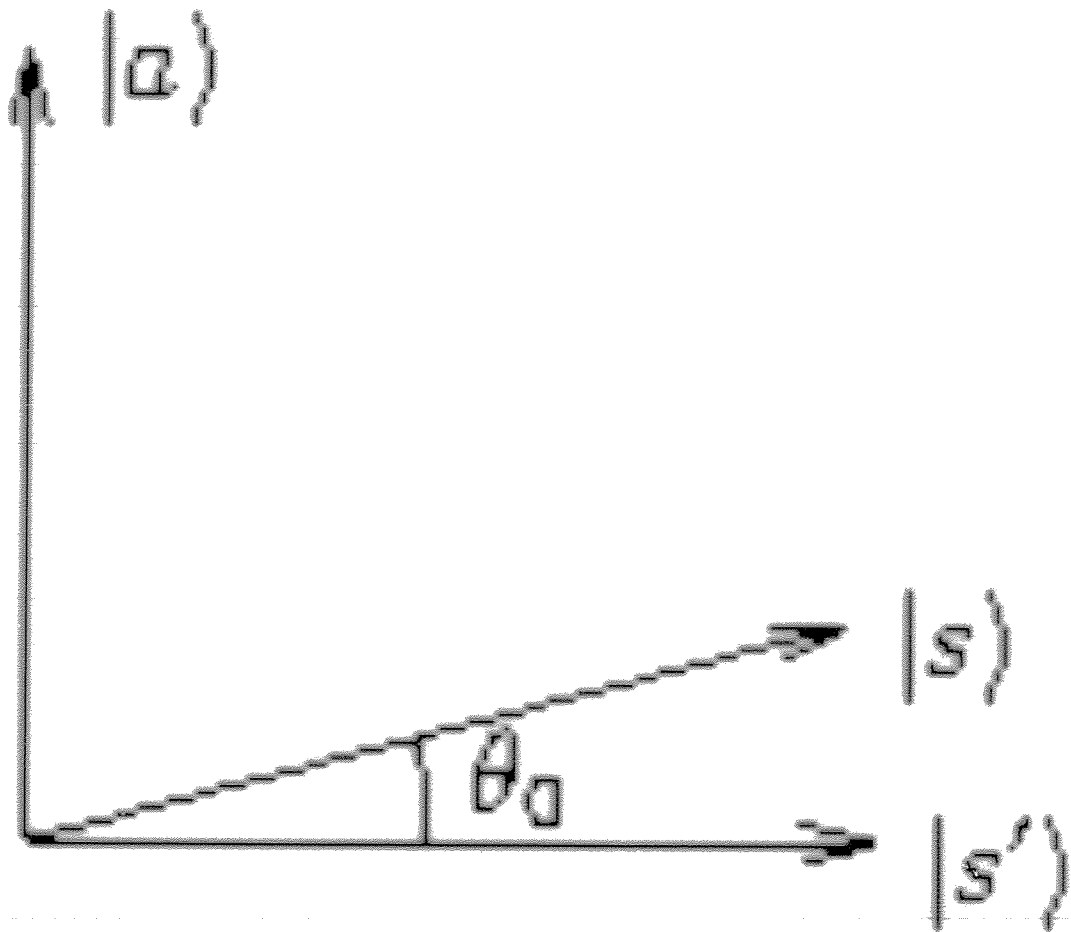
$$k \approx \frac{\pi}{4\theta_0} + O(1)$$

Dann $\cos \theta_k = O(\theta_0) = 1/\sqrt{N}$

$$1 - W = \underbrace{|\langle S' | \theta_k \rangle|^2}_{1/4} = \cos^2 \theta_k = \frac{1}{N}$$

Unterraum, durch $|a\rangle, |s\rangle$ aufgespannt

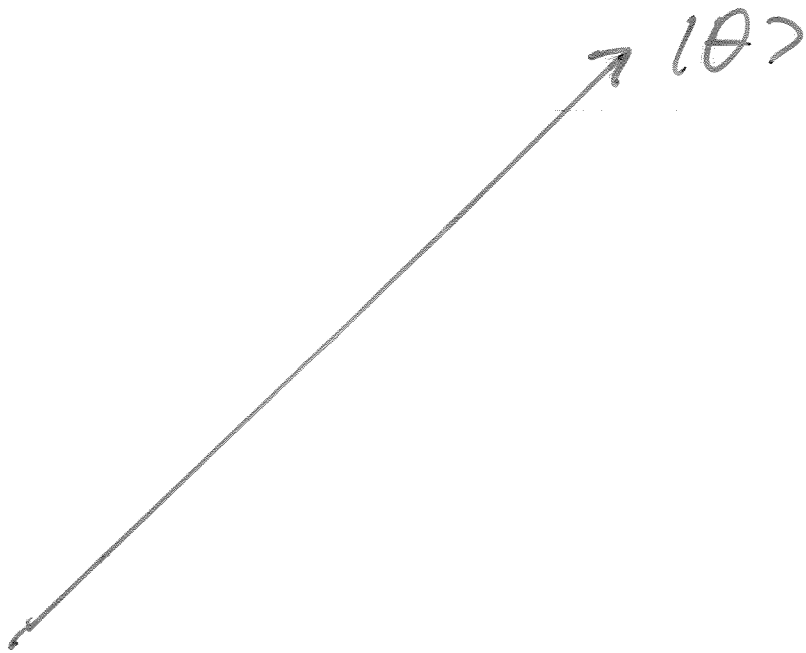
$$\langle s|a\rangle = \frac{1}{\sqrt{N}} = \sin\theta_0$$



$$|s'\rangle = \frac{1}{\sqrt{N-1}} \sum_{\substack{a' \in A \\ a' \neq a}} |a'\rangle$$

$$|\theta\rangle = (\cos\theta) |s'\rangle + (\sin\theta) |a\rangle$$

$$(\theta = \pi/2)$$



$$(\theta = \theta_0)$$

